

# Měsíční zpráva

Počasí, voda a ovzduší v ČR

**Březen 2026**

*Jiřina Švábenická (Oddělení operativní služby)*

*Lenka Stašová (Oddělení všeobecné klimatologie)*

*Pavel Vacík (Oddělení meteorologie a klimatologie Plzeň)*

*Lukáš Urban Klabzuba, (Oddělení hydrologických předpovědí)*

*Anna Lamačová, Radek Vlnas (Oddělení podzemních vod)*

*Hana Škáchová, Lucie Školoudová (Informační systém kvality ovzduší)*

# Obsah

<b>BŘEZEN 2026 na území ČR .....</b>	<b>3</b>
<b>1      Synoptická situace .....</b>	<b>4</b>
<b>2      Klimatologické hodnocení .....</b>	<b>5</b>
2.1    Teplota vzduchu .....	5
2.2    Srážky .....	7
2.3    Sluneční svit .....	9
<b>3      Hydrologická situace .....</b>	<b>10</b>
3.1    Povrchové vody .....	10
3.2    Podzemní vody .....	16
<b>4      Kvalita ovzduší .....</b>	<b>24</b>
4.1    Rozptylové podmínky .....	24
4.2    Suspendované částice PM <sub>10</sub> .....	25
4.3    Suspendované částice PM <sub>2,5</sub> .....	28
4.4    Ostatní látky .....	31
4.5    Index kvality ovzduší .....	33
4.6    Smogový a varovný regulační systém .....	34

## BŘEZEN 2026 NA ÚZEMÍ ČR

Březen 2026 na území ČR hodnotíme jako teplotně nadnormální a srážkově podnormální měsíc. Průměrná měsíční teplota vzduchu na území ČR (5,2 °C) byla o 2,0 °C vyšší než normál 1991–2020. V řadě průměrných březnových teplot od roku 1961 se březen 2026 řadí jako 11. až 12. nejteplejší společně s rokem 2012. Vůbec nejvyšší březnová průměrná teplota (7,0 °C) byla zaznamenána v mimořádně teplém březnu 2024 a naopak nejnižší (−2,5 °C) v roce 1987.

V průměru na našem území spadlo 19 mm srážek (41 % srážkového normálu 1991–2020). Průměrná délka slunečního svitu na území ČR byla tento měsíc 174,0 hodiny, což činí 139 % normálu 1991–2020.

V březnu se průměrná denní teplota vzduchu na území ČR po většinu měsíce pohybovala nad hodnotou normálu. Delší období s teplotou pod hodnotou normálu nastalo až koncem měsíce. Toto období přineslo citelné ochlazení a maximální denní teploty vzduchu na mnoha stanicích byly méně než 10 °C. Na některých horských stanicích byl celodenní mráz.

Více srážek spadlo na východě našeho území. Průměrný srážkový úhrn na území Moravy a Slezska byl 29 mm (64 % normálu), zatímco na území Čech pouze 14 mm (30 % normálu). V první polovině měsíce bylo srážek málo. Nejvíce srážek spadlo koncem měsíce. Srážky v březnu byly dešťové, smíšené i sněhové. Na konci měsíce byla sněhová pokrývka pouze v nejvyšších polohách na hor.

Z odtokového hlediska byl březen u českých i moravských povodí podprůměrný až silně podprůměrný. Nejvíce vody odteklo Dyjí (70 %  $Q_{III}$ ) a Olší (53 %  $Q_{III}$ ), méně vody odteklo Odrou (49 %  $Q_{III}$ ), Labem (43 %  $Q_{III}$ ), Moravou (41 %  $Q_{III}$ ) a nejméně Vltavou (35 %  $Q_{III}$ ). Celkově byly průměrné březnové průtoky nejčastěji v rozmezí od 30 do 65 %  $Q_{III}$ , v povodí Dyje se některé toky vyskytovaly i lehce nad 110 %  $Q_{III}$ . V březnu již nebylo na tocích zaznamenáno ovlivnění ledovými jevy, vyskytlo se však dosažení 1. stupně povodňové aktivity na Bělé v Boskovicích pod přehradou, což bylo způsobeno řízenou manipulací na přehradě. Vzhledem k absenci výraznějších srážek začalo přibývat hlásných profilů (kategorie A + B) s průtoky menšími než 25 %  $Q_{III}$ , které indikují hydrologické sucho.

Celkový stav hladiny v mělkém oběhu se zhoršil na mírně podnormální, vydatnost pramenů se zmenšila na silně podnormální. Stav hladiny hlubokých vrtů se zhoršil na mimořádně podnormální.

V porovnání s 30letým průměrem 1991–2020 byly v březnu zhoršené rozptylové podmínky. Březnová hodnota celorepublikových měsíčních průměrů koncentrací PM<sub>10</sub> a PM<sub>2,5</sub> byla v roce 2026 čtvrtá nejvyšší, resp. třetí nejnižší za období 2016–2026.

**Níže uvedené údaje jsou pouze předběžné a mohou se ještě měnit, neboť data nebyla kompletně verifikována. Z důvodů procesu zpracování dat jsou do měsíčních hodnocení zahrnuta pouze neverifikovaná data z automatizovaných stanic.**

# 1 SYNOPTICKÁ SITUACE<sup>1</sup>

V březnu 2026 měla cirkulace mezi Amerikou a Evropou převážně meridionální charakter. Zonální proudění se vyskytovalo jen přechodně, a to většinou jen v úzkém pásu mezi 40° s.š. až 60° s.š.

První březnový den sice přinesla na naše území srážky studená fronta postupující k východu, ale v dalších dnech první dekády se již srážky v České republice nevyskytly a po celé období počasí ovlivňovala rozsáhlá oblast vysokého tlaku vzduchu zasahující ze severozápadní do jihovýchodní, koncem období až východní Evropy. Tato rozsáhlá anticyklona zcela zablokovala postup všech atlantických frontálních systémů (tzv. omega blokace). Její vliv jen krátkodobě (2. 3.) narušila mělká tlaková níže ve vyšších vrstvách atmosféry, která se přechodně vytvořila nad Rakouskem.

Počasí druhé březnové dekády bylo velmi proměnlivé. Na jejím začátku se nad Čechami rozpadala okluzní fronta, za kterou následně přešla přes naše území fronta studená. Za touto frontou se výrazně snížilo množství saharského prachu nad ČR a zlepšila se i dohlednost. Poté ovlivnil počasí v České republice slábnoucí výběžek vyššího tlaku vzduchu od jihozápadu, který s sebou přinesl teplý a sušší vzduch. Toto počasí s charakterem pozdního jara ale nevydrželo dlouho. Již uprostřed měsíce (15. a 16. 3.) postoupila do střední Evropy studená fronta, za kterou k nám začal proudit chladnější a vlhčí vzduch od severozápadu a v polohách nad 700m, přechodně i níže se objevil i sníh. Ve druhé polovině této dekády ovlivnila počasí u nás tlaková výše nad Polskem a Pobaltím a přeháněk nad naším územím ubylo. Moravu a Slezsko ale zároveň ovlivnila výšková tlaková níže postupující přes naše území dále k jihu. V závěru druhé dekády měla na počasí u nás vliv oblast vyššího tlaku vzduchu se středem u Britských ostrovů.

Na přelomu druhé a třetí dekády přešla přes naše území slabá studená fronta, za kterou se k nám rozšířil okraj tlakové výše nad severovýchodní Evropou. V dalších dnech třetí dekády začal ovlivňovat počasí u nás nevýrazný výběžek vyššího tlaku vzduchu od jihozápadu a na naše území krátce proudil teplejší vzduch. Jeho příliv ale uprostřed této dekády ukončila výrazná studená fronta od severozápadu, za kterou pronikl na naše území opět chladnější vzduch a pocit chladu umocňoval i čerstvý vítr. Zároveň počasí v ČR začalo ovlivňovat zvlněné frontální rozhraní východně od našeho území, které způsobilo rozdíly v počasí mezi západní a východní částí republiky. Do západní poloviny území zasahoval výběžek vyššího tlaku vzduchu od západu, zatímco východ území ovlivňovalo již zmíněné frontální rozhraní nad východní a jihovýchodní Evropou. Proudění studeného vzduchu na naše území pokračovalo i na konci měsíce. Příliv studeného vzduchu od severozápadu zesílil zejména po přechodu okluzní fronty (30. 3.), za kterou se v polohách nad 500 m, při intenzivnějších srážkách přechodně i níže, vyskytovaly opět i srážky sněhové.

---

<sup>1</sup> proudění meridionální je proudění ve směru podél poledníků, tj. od severu k jihu nebo naopak  
proudění zonální je proudění vzduchu podél rovnoběžek ve směru západ-východ  
proudění vzduchu podél rovnoběžek ve směru východ-západ se označuje jako východní (negativní) zonální proudění  
<http://slovník.cmes.cz>

## 2 KLIMATOLOGICKÉ HODNOCENÍ

### 2.1 Teplota vzduchu

Letošní březen hodnotíme jako teplotně nadnormální. Průměrná měsíční teplota vzduchu na území ČR (5,2 °C) byla o 2,0 °C vyšší než normál 1991–2020. V řadě průměrných březnových teplot od roku 1961 se březen 2026 řadí jako 11. až 12. nejteplejší společně s rokem 2012. Vůbec nejvyšší březnová průměrná teplota (7,0 °C) byla zaznamenána v mimořádně teplém březnu 2024 a naopak nejnižší (−2,5 °C) v roce 1987.

V posledních deseti letech byl letošní březen čtvrtý nejteplejší. Podobně teplý byl i březen 2025 s průměrnou měsíční teplotou 5,1 °C. Nejchladnější byl v tomto období březen v roce 2018 s průměrnou teplotou 0,8 °C. Naopak nejteplejší byl již zmiňovaný březen 2024 (s průměrnou teplotou 7,0 °C).

V březnu se průměrná denní teplota vzduchu na území ČR po většinu měsíce pohybovala nad hodnotou normálu. Na začátku druhé poloviny měsíce klesla průměrná denní teplota vzduchu krátce pod hodnotu normálu. Od 26. března až do konce měsíce se průměrná denní teplota držela pod hodnotou normálu (Obr. 2.1.3). Nejvyšší záporná odchylka průměrné denní teploty vzduchu od normálu byla zaznamenána dne 27. března (−2,8 °C).

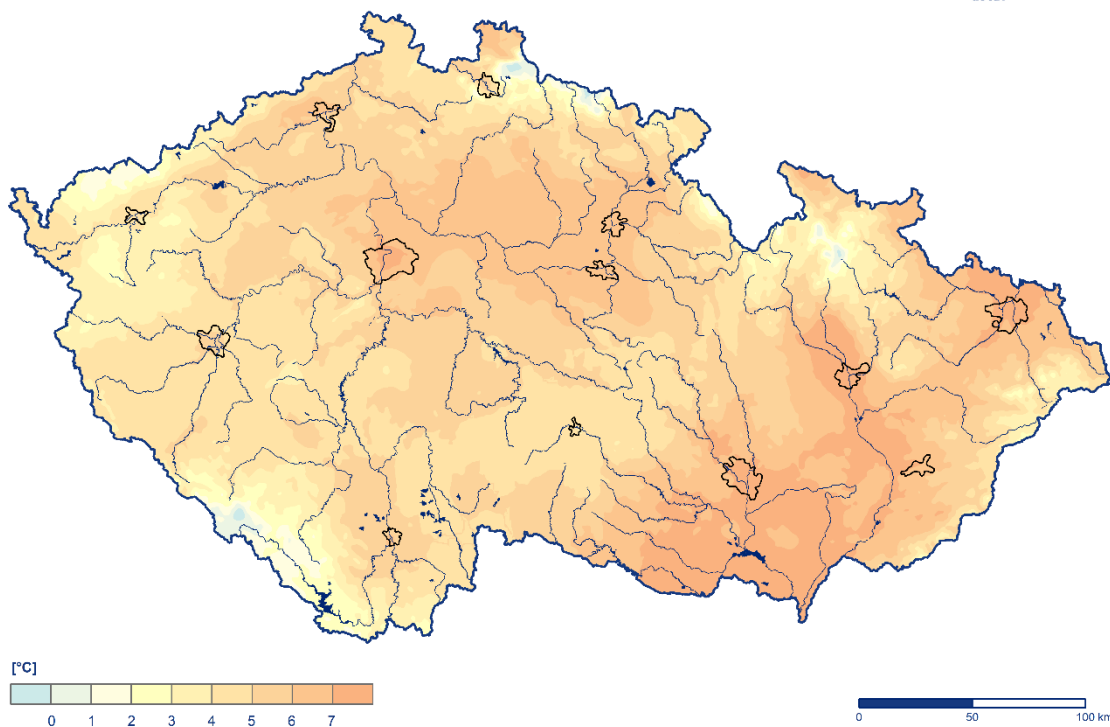
Velmi teplá období jsem zaznamenali ve dnech 8. až 11. března, 13. a 14. března, kdy byla odchylka průměrné denní teploty vzduchu od normálu 1991–2020 více než 4,0 °C. Nejvyšší kladná odchylka průměrné denní teploty vzduchu od normálu byla zaznamenána dne 14. března (+6,5 °C). V několika dnech byla na některých stanicích standardní staniční sítě ČHMÚ naměřena maximální denní teplota vzduch 18 °C a více. Nejvíce to bylo ve dnech 11. března (11 stanic) a 14. března (9 stanic).

Nejvyšší hodnota maximální denní teploty vzduchu v tomto měsíci 19,3 °C byla zaznamenána 25. března na stanici Brod nad Dyjí (okres Břeclav). Dosud historicky nejvyšší březnová maximální denní teplota vzduchu 26,2 °C byla naměřena dne 22. března 1927 na stanici Mělník (okres Mělník).

Nejnižší denní minimální teplota vzduchu −13,5 °C byla v tomto měsíci naměřena 28. března na stanici Horská Kvilda (okres Klatovy). Pokud uvažujeme i stanice mimo standardní síť ČHMÚ, nejnižší hodnota −14,6 °C byla zaznamenána ve stejný den na stanicích Rokytská slat' a Březník (okres Klatovy). Historicky nejnižší březnová minimální denní teplota vzduchu −32,5 °C byla naměřena 2. března 2005 na stanici Borová Lada (okres Prachatice). Pokud uvažujeme i stanice mimo standardní síť ČHMÚ, dosud nejnižší hodnota −38,1 °C byla zaznamenána 5. března 1987 na stanici Kvilda-Perla (okres Prachatice).

**Průměrná měsíční teplota vzduchu v březnu 2026**

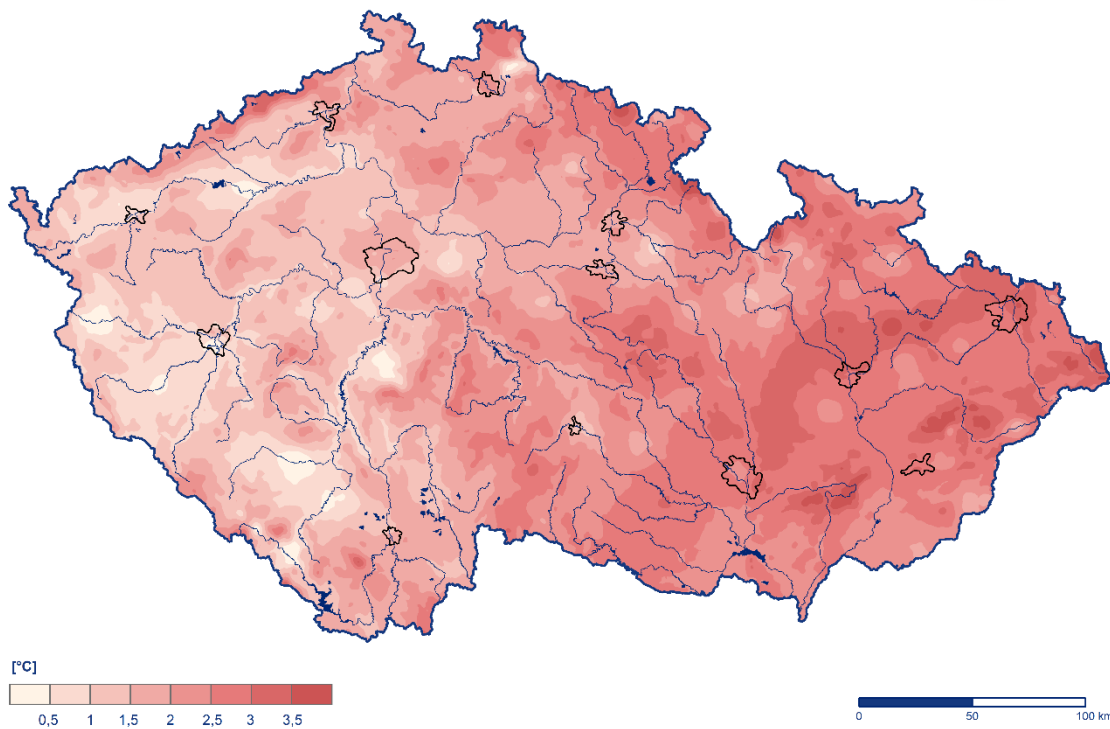
Český  
hydrometeorologický  
ústav



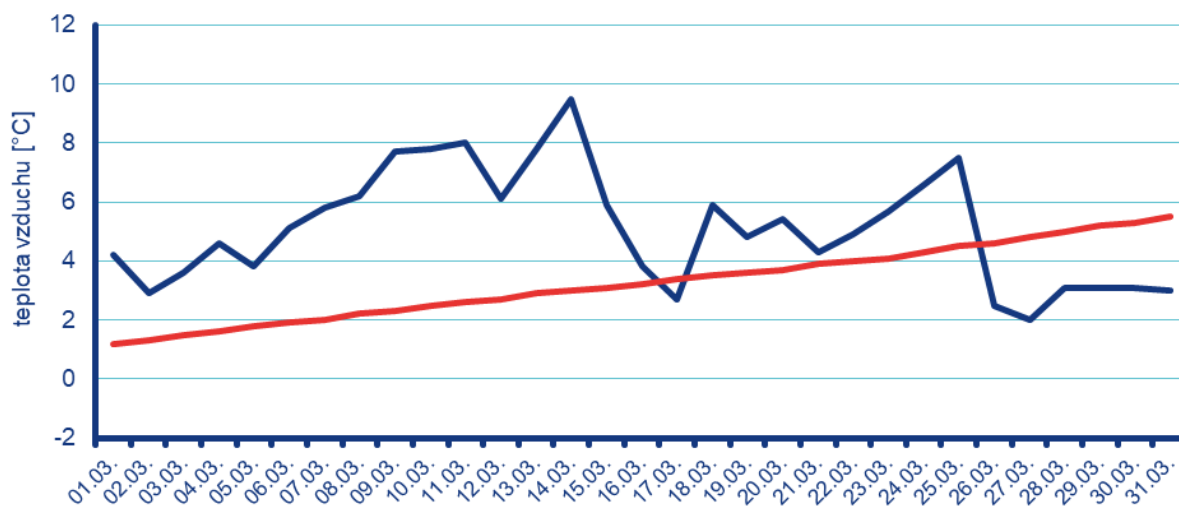
Obr. 2.1.1 Průměrná měsíční teplota vzduchu na území ČR v březnu 2026

**Odchylka průměrné měsíční teploty vzduchu v březnu 2026  
od normálu 1991–2020**

Český  
hydrometeorologický  
ústav



Obr. 2.1.2 Odchylka průměrné měsíční teploty vzduchu od normálu 1991–2020 na území ČR v březnu 2026



Obr. 2.1.3 Průběh průměrné denní teploty vzduchu na území ČR v březnu 2026 ve srovnání s normálem 1991–2020

## 2.2 Srážky

Srážkově měsíc březen hodnotíme jako podnormální. V průměru na našem území spadlo 19 mm srážek, což představuje 41 % normálu 1991–2020 (Obr. 2.2.1, Obr. 2.2.2). Jedná se tak o 5. nejsušší březen zaznamenaný na území ČR od roku 1961.

Průměrný srážkový úhrn na území Čech byl 14 mm (30 % normálu) a na území Moravy a Slezska 29 mm (64 % normálu). Nejvíce srážek v porovnání s normálem spadlo v krajích Moravskoslezském (90 % normálu), Zlínském (69 % normálu) a Jihomoravském (66 % normálu), naopak nejméně v krajích Libereckém a Ústeckém (shodně 24 % normálu) a Královéhradeckém a Středočeském a Praze (shodně 26 % normálu). Na většině území Moravy a Slezska byl březen z pohledu srážek normální.

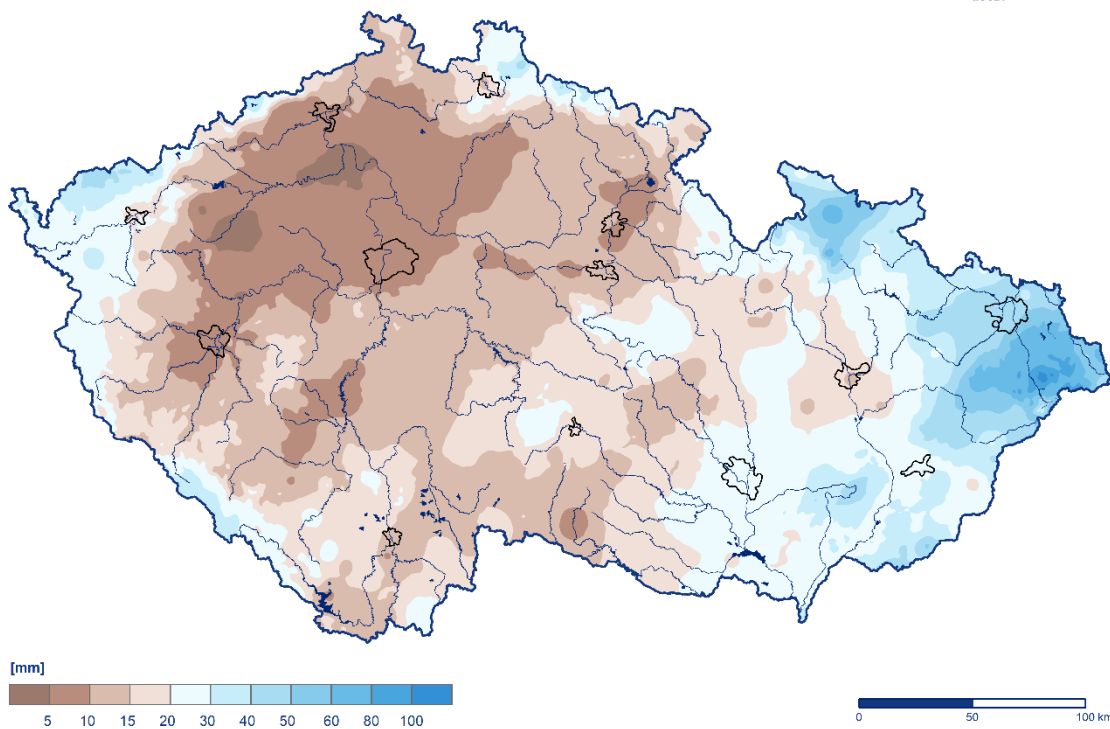
Měsíční srážkové úhrny se pohybovaly na našem území v širokém rozpětí. Zatímco některé stanice zaznamenaly za celý měsíc méně než 5 mm srážek, na jiných stanicích zejména na severovýchodě Moravy, to bylo přes 50 mm srážek. Na stanici Lysá hora to bylo 116 mm.

V první polovině měsíce bylo srážek málo. Druhá polovina měsíce byla na srážky bohatší. Nejvíce srážek spadlo koncem měsíce. Výraznější srážkové úhrny jsme však zaznamenali pouze v několika dnech. Nejvíce to bylo ve dnech 25., 26. a 30. března. V těchto dnech se srážky vyskytovaly téměř na celém území republiky. V březnu se vyskytovaly srážky dešťové, smíšené i sněhové. Nejvíce nového sněhu napadlo koncem měsíce na horách. Na konci března byla významnější sněhová pokrývka pouze v nejvyšších polohách hor.

Nejvyšší denní úhrn srážek v tomto měsíci (38,1 mm) zaznamenala 26. března stanice Lysá hora (okres Frýdek-Místek) a zároveň zde v tento den napadlo nejvíce nového sněhu (32 cm). Nejvyšší celková výška sněhové pokrývky (94 cm) byla naměřena 2. března na stanici Labská bouda.

Měsíční úhrn srážek v březnu 2026

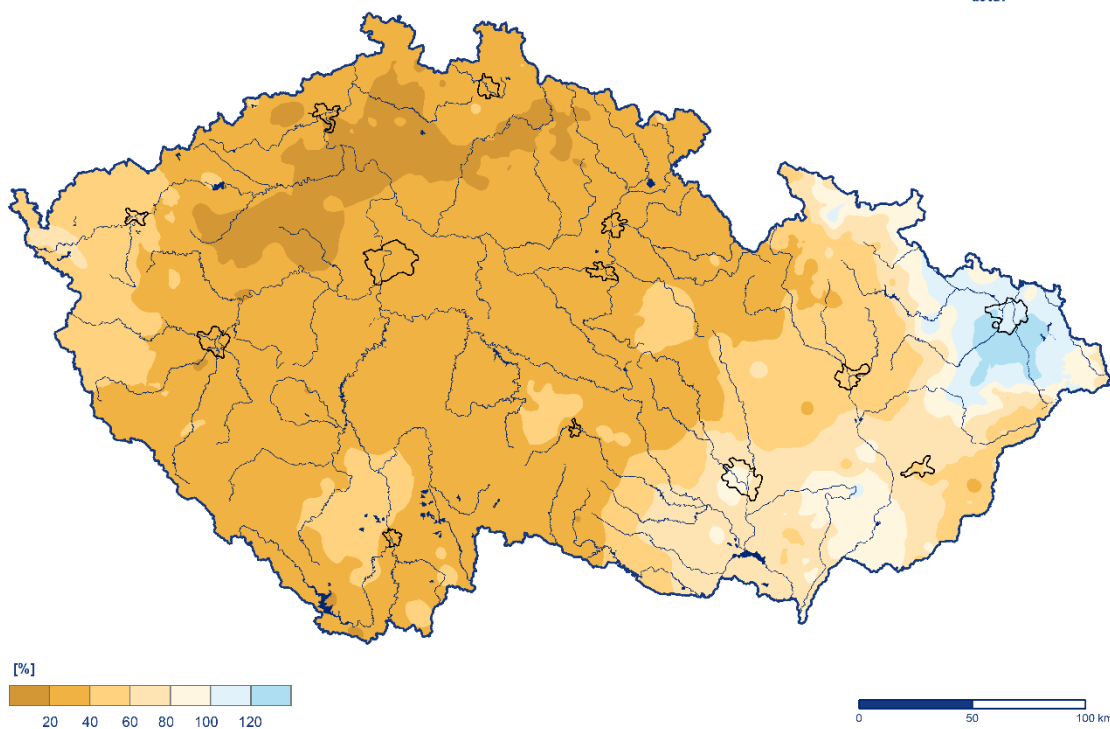
Český  
hydrometeorologický  
ústav



Obr. 2.2.1 Měsíční úhrn srážek na území ČR v březnu 2026

Měsíční úhrn srážek v březnu 2026 v procentech normálu 1991–2020

Český  
hydrometeorologický  
ústav



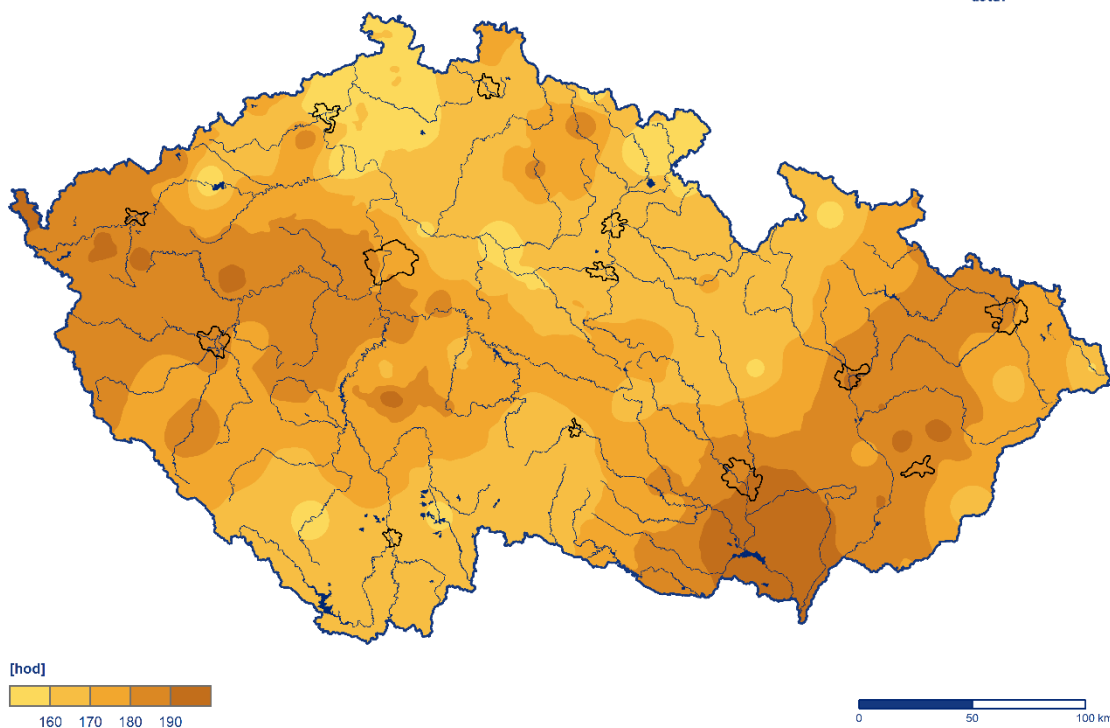
Obr. 2.2.2 Měsíční úhrn srážek na území ČR v březnu 2026 v procentech normálu 1991–2020

## 2.3 Sluneční svit

Průměrná délka slunečního svitu na území ČR byla tento měsíc 174,0 hodiny, což činí 139 % normálu 1991–2020 (Obr. 2.3.1). Nejvíce hodin slunečního svitu bylo v krajích Jihomoravském (186,5 h), Karlovarském (185,7 h) a Zlínském (181,4 h). Naopak nejméně hodin slunečního svitu bylo v krajích Libereckém (165,0 h), Pardubickém (165,5 h) a Královéhradeckém (165,7 h).

Doba trvání slunečního svitu v březnu 2026

Český  
hydrometeorologický  
ústav



Obr. 2.3.1 Měsíční úhrn doby trvání slunečního svitu na území ČR v březnu 2026

## 3 HYDROLOGICKÁ SITUACE

### 3.1 Povrchové vody

#### Odtokové poměry

Z odtokového hlediska byl březen u českých i moravských povodí podprůměrný až silně podprůměrný. Nejvíce vody oteklo Dyjí (70 %  $Q_{III}$ ) a Olší (53 %  $Q_{III}$ ), jejichž průtoky byly podprůměrné. Méně vody oteklo Odrou (49 %  $Q_{III}$ ), Labem (43 %  $Q_{III}$ ), Moravou (41 %  $Q_{III}$ ) a nejméně Vltavou (35 %  $Q_{III}$ ), jejichž průtoky byly silně podprůměrné. Celkově byly průměrné březnové průtoky nejčastěji v rozmezí od 30 do 65 %  $Q_{III}$ , v povodí Dyje se některé toky vyskytovaly i lehce nad 110 %  $Q_{III}$  (Dyje, Jevišovka), (Tab. 3.1.1, Obr. 3.1.1, Obr. 3.1.2). V březnu již nebylo na tocích zaznamenáno ovlivnění ledovými jevy, vyskytlo se však dosažení 1. stupně povodňové aktivity na Bělé v Boskovicích pod přehradou ke konci března (30. 3.), které však bylo způsobeno řízenou manipulací na přehradě.

Tab. 3.1.1 Průměrné měsíční průtoky v závěrových profilech hlavních povodí, březen 2026

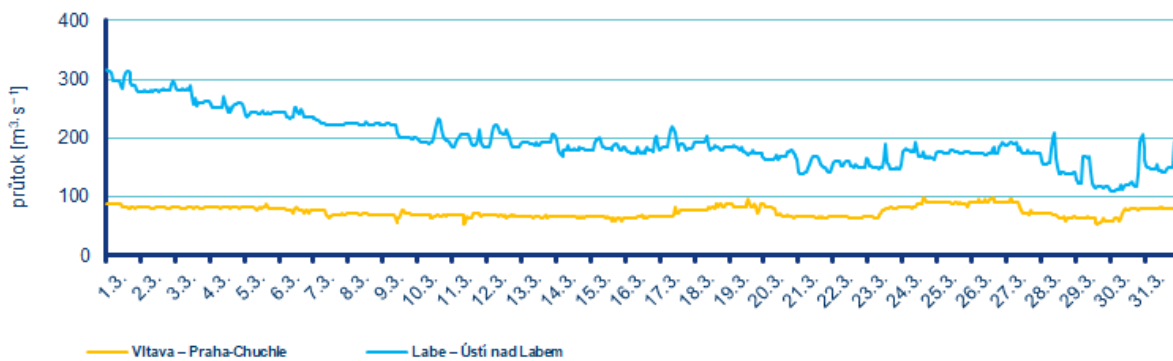
Tok	Profil	$Q_m$ [%]	$Q$ [ $m^3 \cdot s^{-1}$ ]
Vltava	Praha-Chuchle	35	74
Labe	Ústí nad Labem	43	200
Odra	Bohumín	49	32
Olše	Věřňovice	53	12
Morava	Strážnice	41	44
Dyje	Břeclav-Ladná	70	43

Začátkem března doznávala situace z předchozího měsíce, kdy byly toky na pozvolných poklesech ve všech hlavních povodí. Hladiny většiny sledovaných toků byly na poklesech nebo slabě rozkolísané, výjimečně se objevily velmi slabé vzestupy po padlých srážkách. V posledním týdnu měsíce března reagovaly toky na větší srážky, kde došlo k vzestupům ve všech povodí kromě Vltavy, které bylo srážkami téměř nedotčeno, (Tab. 3.1.1, Obr. 3.1.3).

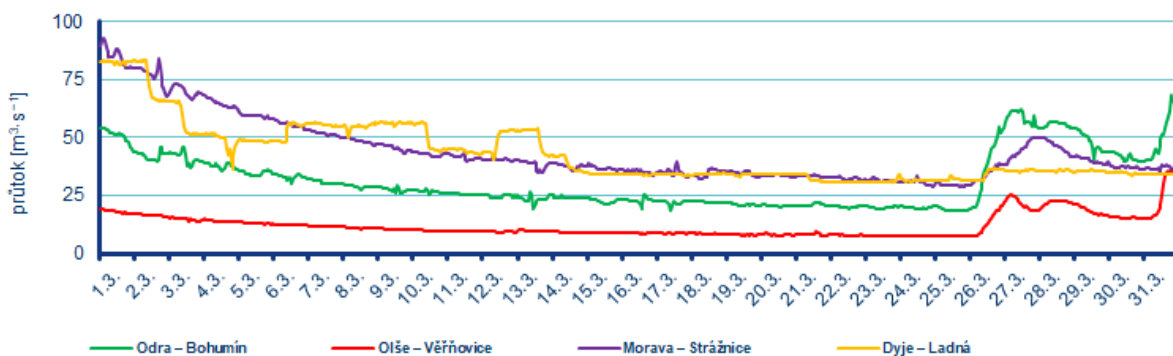
Zpočátku měsíce byly ve všech povodích průtoky vesměs podprůměrné, nejčastěji mezi 50 až 85 %  $Q_{III}$ . Postupně začaly průtoky klesat a ke konci měsíce již byly průtoky spíše výrazně podprůměrné, ojediněle podprůměrné, a zcela výjimečně se objevovaly toky dosahující průměrných hodnot.

Vodnosti se na začátku měsíce pohybovaly v rozmezí od  $Q_{180-30d}$ , což bylo způsobeno srážkovou epizodou z konce minulého měsíce. Postupně však začaly vodnosti klesat a na konci měsíce již vykazovaly hodnoty  $Q_{240-120d}$ .

Odtok z Vltavské kaskády ve Vraném nad Vltavou se v první polovině března udržoval mezi 35 až 40  $m^3/s$ , ve druhé polovině měsíce došlo k několika manipulacím a odtok byl řízeně udržován mezi 40 až 70  $m^3/s$ .



Obr. 3.1.1 Průběh průtoků v závěrových profilech Vltavy a Labe, březen 2026

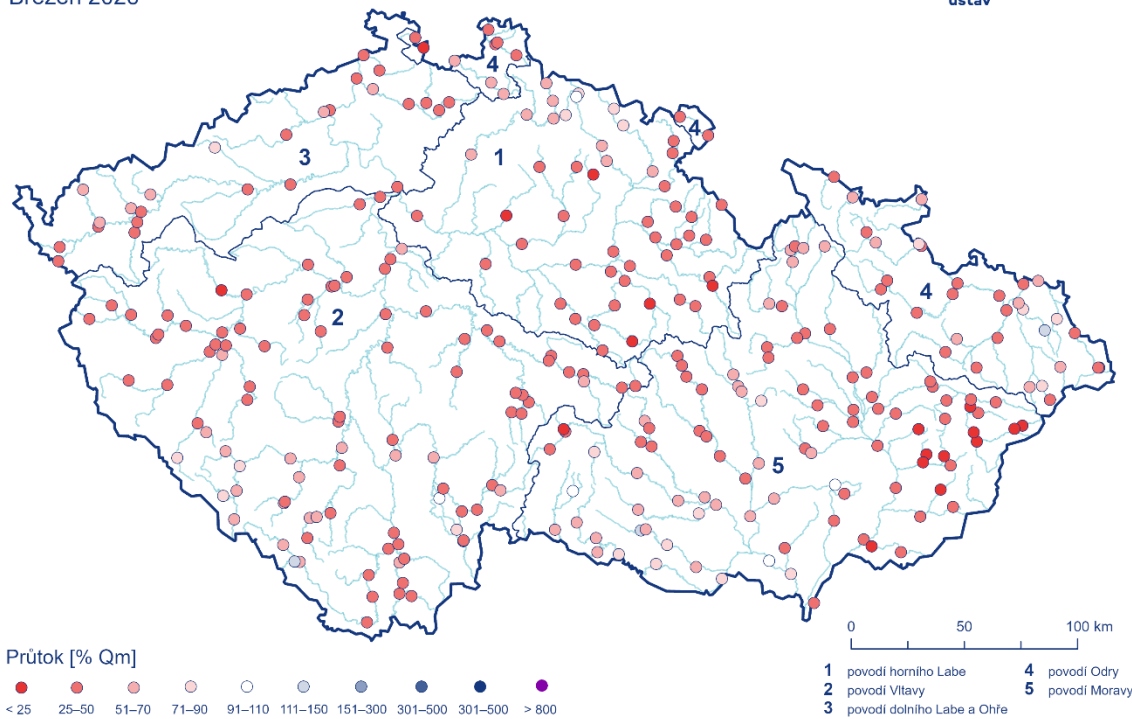


Obr. 3.1.2 Průběh průtoků v závěrových profilech Odry, Olše, Moravy a Dyje, březen 2026

### Průměrné měsíční průtoky

Březen 2026

Český  
hydrometeorologický  
ústav



Obr. 3.1.3 Průměrné měsíční průtoky na území ČR, březen 2026

Tab. 3.1.2 Přehled průměrných, max. a min. průtoků (stavů), březen 2026

Tok	Profil	ØQ	Q <sub>m</sub>	Q <sub>m</sub>	min. H	min. Q	max. H	max. Q	DD min.	DD max.
		m <sup>3</sup> ·s <sup>-1</sup>	m <sup>3</sup> ·s <sup>-1</sup>	%	cm	m <sup>3</sup> ·s <sup>-1</sup>	cm	m <sup>3</sup> ·s <sup>-1</sup>	–	–
Orlice	Týniště nad Orlicí	14,0	33,0	43	59	5,50	176	32,0	31	1
Labe	Přelouč	44,0	100	44	38	17,0	121	83,0	29	1
Cidlina	Sány	3,40	9,60	35	29	1,30	82	7,90	26	1
Jizera	Bakov nad Jizerou	20,0	40,0	51	139	9,00	255	43,0	26	1
Labe	Kostelec nad Labem	72,0	170	43	398	22,0	443	170	25	1
Vltava	Vyšší Brod	6,80	19,0	37	51	4,70	106	22,0	24	12
Mašše	Roudné	3,80	9,10	42	12	1,40	47	7,00	31	6
Vltava	České Budějovice	15,0	38,0	39	104	9,44	112	29,5	31	13
Lužnice	Bechyně	21,0	39,0	54	103	7,40	185	44,0	29	1
Otava	Písek	19,0	36,0	54	58	9,30	115	33,0	30	1
Sázava	Nespeky	15,0	37,0	39	57	7,30	115	30,0	30	1
Berounka	Pízeň-Bílá Hora	14,0	29,0	48	103	8,20	152	26,0	30	1
Berounka	Beroun	23,0	59,0	39	82	12,0	133	40,0	30	1
Vltava	Praha-Chuchle	74,0	210	35	46	54,0	60	100	9	24
Ohře	Karlovy Vary	20,0	46,0	43	50	11,0	96	44,0	29	1
Ohře	Louny	31,0	61,0	50	193	19,0	239	43,0	24	1
Labe	Ústí nad Labem	200	460	43	149	110	262	320	30	1
Bílina	Trmice	5,20	9,70	54	98	2,60	146	12,0	26	1
Ploučnice	Benešov nad Ploučnicí	6,90	12,0	55	75	2,40	100	13,0	26	1
Labe	Děčín	200	490	42	114	120	238	330	30	1
Odra	Svinov	9,50	23,0	42	111	3,70	173	28,0	19	31
Opava	Děhylov	8,60	22,0	39	85	4,60	112	14,0	25	1
Ostravice	Ostrava	11,0	17,0	62	74	6,20	132	29,0	13	31
Odra	Bohumín	32,0	65,0	49	163	19,0	222	69,0	17	31
Olše	Věřňovice	12,0	23,0	53	68	7,30	140	40,0	21	31
Morava	Olomouc	23,0	49,0	47	108	14,0	186	48,0	28	1
Bečva	Dluhonice	10,0	33,0	31	111	2,90	158	27,0	19	27
Morava	Strážnice	44,0	110	41	124	29,0	264	93,0	24	1
Svratka	Židlochovice	13,0	25,0	53	64	8,30	112	26,0	28	1
Jihlava	Ivančice	12,0	18,0	67	116	4,90	165	23,0	20	1
Dyje	Ladná	43,0	61,0	70	51	31,0	134	83,0	22	1

ØQ  
Q<sub>m</sub>  
% Q<sub>m</sub>  
H  
Q  
DD  
LJ

Průměrný průtok [ m<sup>3</sup>s<sup>-1</sup> ]  
Dlouhodobý průměrný průtok příslušného měsíce  
Procenta měsíčního průměru  
Stav [ cm ]  
Průtok [ m<sup>3</sup>s<sup>-1</sup> ]  
Den v měsíci  
Ledový jev

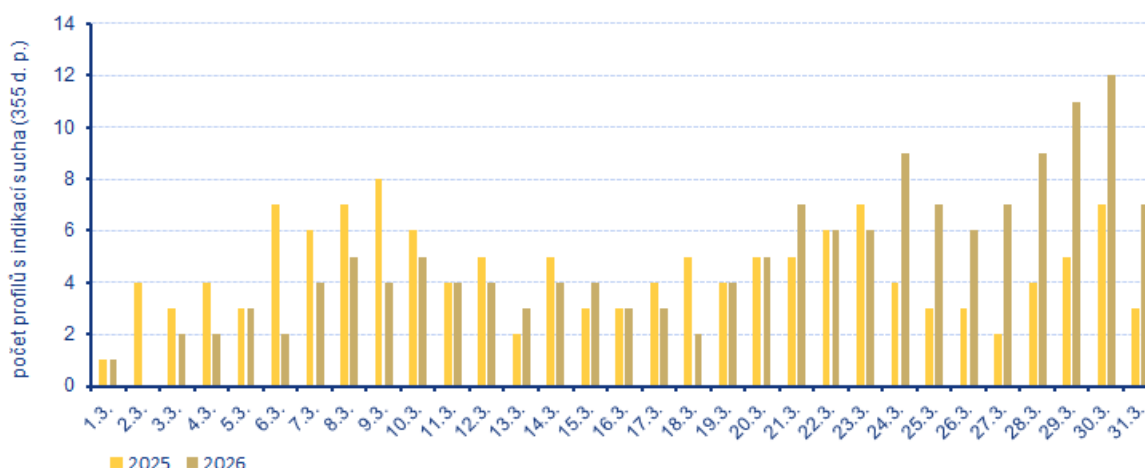
## Sucho na území ČR

Hlásné profily (kategorie A + B) s průtoky menšími než 25 %  $Q_{III}$  se ze začátku měsíce vyskytovaly jen ojediněle, a to převážně v povodí Moravy (po Dyji) a o něco méně v povodí Vltavy. V průběhu měsíce se počet suchých profilů začal zvyšovat, nejvíce opět v povodí Moravy, ale také v povodích horního Labe, Odry a Vltavy, a jejich celkový počet byl kolem 10 % všech profilů kategorie A+B, na začátku 3. dekády měsíce kolem 20 %. Ke konci měsíce bylo nejvíce suchých profilů v povodí Vltavy a horního Labe, ale také v povodí Moravy, kde však jejich počet mírně ustoupil vlivem srážkové činnosti. Na konci měsíce se profily (kategorie A + B) s průtoky menšími než 25 %  $Q_{III}$  vyskytovaly na necelých 26 % všech profilů (Tab. 3.1.1).

Tab. 3.1.3 Procentuální vývoj počtu hlásných profilů (kategorie A + B) v průběhu března v hlavních povodích s průměrnými týdenními průtoky menšími než 25 %  $Q_{III}$

Povodí	Q < 25 % $Q_m$			
	T10 (2. – 8. 3.)	T11 (9. – 15. 3.)	T12 (16. – 22. 3.)	T13 (23. – 29. 3.)
Horní Labe	1	6	12	22
Vltava	3	4	14	27
Dolní Labe a Ohře	1	0	2	5
Odra	1	5	9	8
Morava po Dyji	6	17	26	16
Dyje	1	1	3	5
Celkem	4	10,2	20,5	25,8

Počet operativních hydrologických profilů s indikací hydrologického sucha ( $Q_{355d}$ ) se v první a druhé dekádě měsíce pohyboval většinou od 2 do 5 profilů. Od třetí dekády začalo suchých profilů přibývat a jejich počet byl oproti začátku měsíce 2 až 3násobný, (Obr. 3.1.5). V porovnání s loňským hydrologickým suchem bylo v první polovině března zaznamenáno o něco méně suchých profilů, naopak ve druhé polovině měsíce jejich počet oproti minulému roku stoupl na dvojnásobek.



Obr. 3.1.5 Vývoj počtu operativních hydrologických profilů s indikací hydrologického sucha ( $Q_{355d}$ ) v březnu 2025 a 2026

## Nádrže

U většiny sledovaných nádrží byly vodní hladiny během března setrvalé, popřípadě docházelo k menšímu kolísání. Celkové změny v zaplnění zásobních prostorů se pohybovaly nejčastěji mezi -2 až +3 %. Většina nádrží byla v průběhu března naplněna minimálně na 75 %. Menší naplnění vykazovaly pouze vodní díla Lipno (74 %), Hněvkovice (62 %) a Stanovice (72 %), a do poloviny března také vodní dílo Přísečnice (74 % k 16. 3.).

Zásoba vody v nádržích Vltavské kaskády nad dispečerským minimem vzrostla z počátečních 208,60 mil. m<sup>3</sup> na začátku měsíce (k 2. 3.) až na 253,32 mil. m<sup>3</sup> v polovině měsíce (k 16. 3.), poté však vlivem manipulací došlo k navyšování odtoku z Vltavské kaskády a zásoba vody ke konci měsíce klesla (k 30. 3.) na 227,00 mil. m<sup>3</sup>.

## Zásoby vody ve sněhové pokrývce

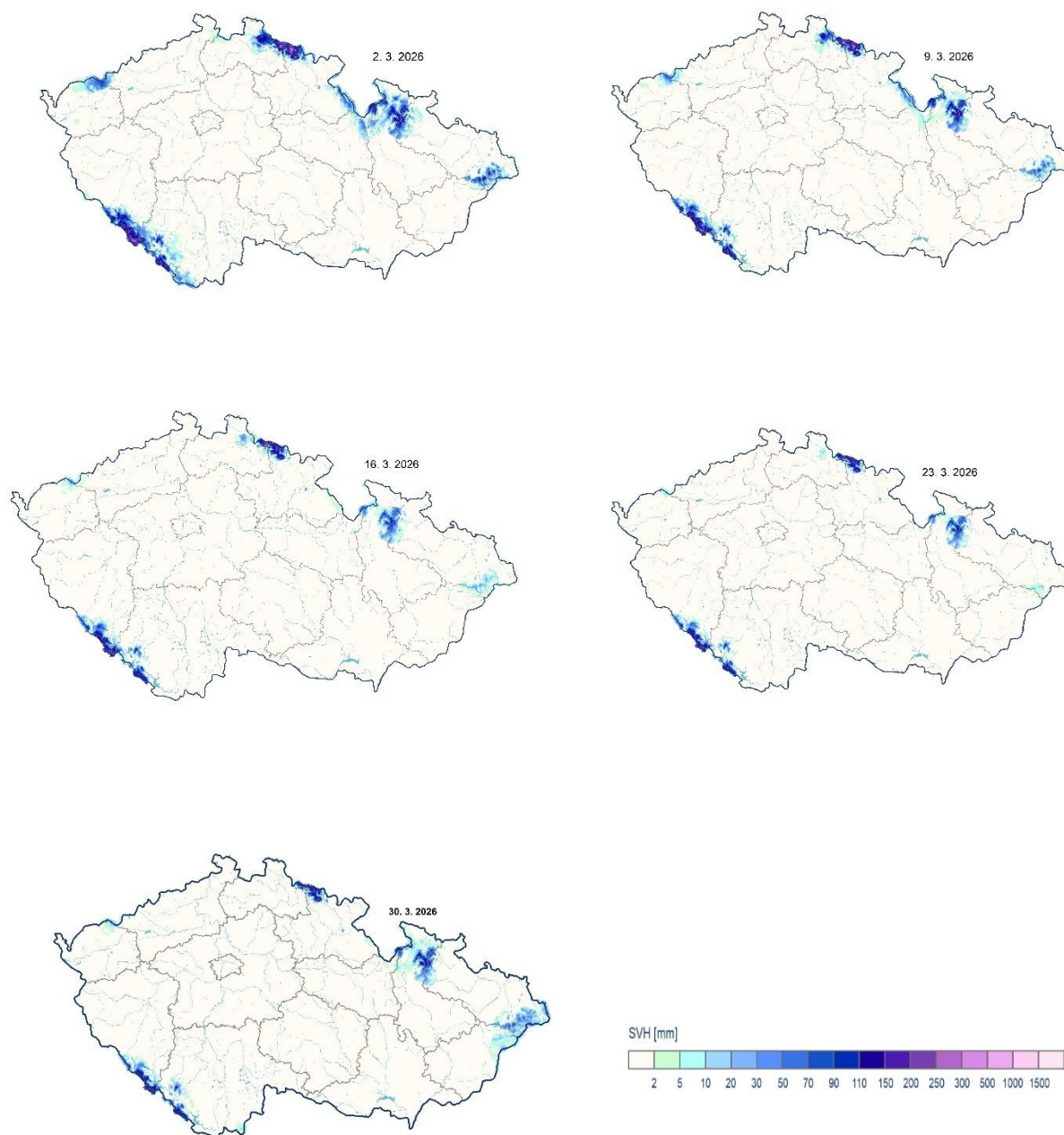
V pondělí 2. 3. ráno ležela souvislá sněhová pokrývka na horách od nadmořské výšky cca 700 až 1000 m n. m., hlavně v závislosti na expozici svahu a lokalitě. S rostoucí nadmořskou výškou sníh poměrně rychle přibýval a nejvíce sněhu bylo na hřebenech Šumavy a Krkonoš (Blatný vrch 98 cm, Labská bouda 94 cm). Hřebeny Beskyd, Krušných a Orlických hor měly sněhu výrazně méně (Lysá hora 44 cm, Fichtelberg 34 cm, Velká Deštná 26 cm). V Jeseníkách bylo nejvíce sněhu na Pradědu 69 cm a Králickém Sněžníku 61 cm.

V průběhu měsíce sněhu na horách vzhledem k oteplení a absenci sněhových srážek postupně ubývalo. V polovině měsíce došlo sice k ochlazení a přibylo srážek, ale vzhledem k teplotám nad bodem mrazu sněhu i nadále ubývalo. Na hřebenech Krkonoš a Šumavy leželo k 16. 3. nejčastěji 50 až 80 cm sněhu, na hřebenech Jeseníků a Králického Sněžníku nejčastěji od 20 do 30 cm a na ostatních horách od 10 do 15 cm.

Od poloviny měsíce pokračoval i nadále úbytek sněhové pokrývky, který byl ale vzhledem k nízkým teplotám pomalejší než ze začátku měsíce. Ve středu 25. 3. začala od západu našeho území přecházet výrazná studená fronta, za kterou se citelně ochladilo. Sněhové srážky se vrátily nejen na hory, ale i do středních poloh a sněhu opět přibylo. Na hřebenech Krkonoš a Šumavy leželo nejčastěji 40 až 75 cm sněhu, na hřebenech Jeseníků a Beskyd většinou od 20 do 50 cm a na ostatních horách leželo od poprašku do 3 až 8 cm sněhu, (Tab. 3.1.1, Obr. 3.1.5).

Tab. 3.1.2 Zásoba vody ve sněhové pokrývce, březen 2026

	2. 3.	9. 3.	16. 3.	23. 3.	30. 3.
Objem [mld. m <sup>3</sup> ]	0,237	0,166	0,095	0,087	0,103
Odtoková výška [mm]	3	2,1	1,2	1,1	1,3



Obr. 3.1.5 Přehled rozložení vodní hodnoty sněhu (SVH) na území ČR, březen 2026

## 3.2 Podzemní vody

### Mělké vrty

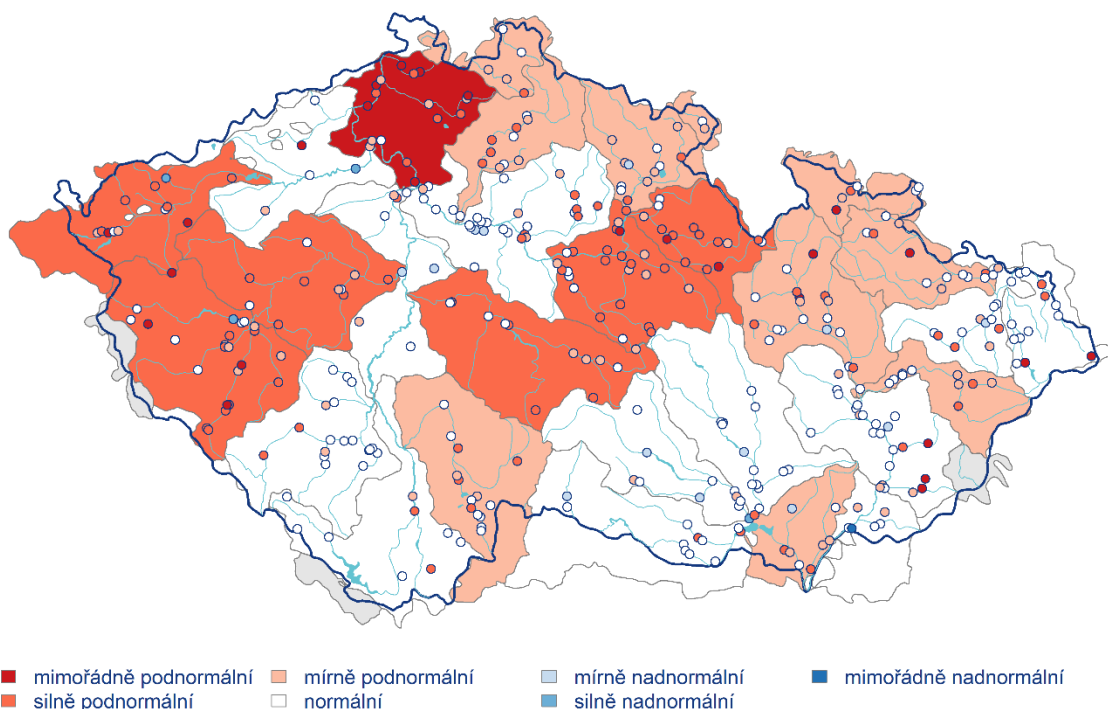
Hladina podzemní vody v mělkých vrtech byla v březnu na území ČR celkově mírně podnormální (Tab. 3.2.1). Mírně podnormální stav převládal na většině dílčích povodí, silně podnormální hladina byla zaznamenána v dílčích povodích Berounky a Ohře, Dolního Labe a ostatních přítoků Labe. Naopak v dílčích povodích Horní Vltavy a Dyje byla hladina normální (Tab. 3.2.1, Obr. 3.2.1). Ve skupinách povodí byl mimořádně podnormální stav v povodí dolního Labe a Ploučnice, silně podnormální stav nastal v povodích Orlice, středního Labe pod Doubravu, horní a dolní Berounky, Sázavy a horní Ohře. Největší podíl mělkých vrtů se silně nebo mimořádně podnormální hladinou se vyskytoval v dílčím povodí Ohře, Dolního Labe a ostatních přítoků Labe (58 %) a v dílčím povodí Berounky (48 %). Naopak mělké vrty se silně až mimořádně nadnormální hladinou se vyskytovaly pouze ojediněle nejvíce v dílčím povodí Ohře, Dolního Labe a ostatních přítoků Labe (6 %), dále v dílčím povodí Berounky (3 %, Tab. 3.2.2).

Ve srovnání s předchozím měsícem hladina celkově poklesla a stav se zhoršil z normálního na mírně podnormální. Podíl mělkých vrtů s normální hladinou (45 %) se snížil, zatímco podíl vrtů se silně nebo mimořádně podnormální hladinou se zvýšil na 31 % (Tab. 3.2.2). Podíl vrtů se silně nebo mimořádně nadnormální hladinou se snížil na 1 %. Stagnace až mírný pokles hladiny byl zaznamenán u 29 % mělkých vrtů a stagnace až mírný vzestup u 46 % vrtů. Pokles nebo velký pokles hladiny nastal u 10 % vrtů (8 %, resp. 2 %) a vzestup nebo velký vzestup u 15 % vrtů (13 %, resp. 2 %, Tab. 3.2.3). K výraznému zhoršení stavu z normálního na silně podnormální došlo v dílčím povodí Berounky. K mírnému zhoršení stavu z normálního na mírně podnormální došlo v dílčích povodích Horního a středního Labe, Dolní Vltavy, Ohře, Dolního Labe a ostatních přítoků Labe, Horní Odry, Lužické Nisy a ostatních přítoků Odry a Moravy a přítoků Váhu. V dílčím povodí Ohře, Dolního Labe a ostatních přítoků Labe se stav zhoršil z mírně podnormálního na silně podnormální (Tab. 3.2.1).

Meziročně se stav hladiny v mělkých vrtech v březnu celkově zlepšil ze silně podnormálního na mírně podnormální (Tab. 3.2.1). Vzestup nebo velký vzestup hladiny byl zaznamenán u 21 % mělkých vrtů, zatímco pokles nebo velký pokles u 13 % vrtů (Tab. 3.2.4). Nejvýraznější meziroční vzestup byl zaznamenán v dílčím povodí Lužické Nisy a ostatních přítoků Odry (vzestup nebo velký vzestup u 29 % vrtů), dále v dílčích povodích Horního a středního Labe a Horní Vltavy (shodně 27 %). Naopak nejvýraznější meziroční pokles byl zaznamenán v dílčím povodí Berounky (pokles nebo velký pokles u 27 % vrtů), kde se stav zhoršil z mírně podnormálního na silně podnormální (Tab. 3.2.1, Tab. 3.2.4).

## Stav hladiny podzemní vody v mělkých vrtech

Březen 2026

Český  
hydrometeorologický  
ústav

Obr. 3.2.1 Stav hladiny podzemní vody v mělkých vrtech v březnu 2026 ve skupinách povodí, vztaheno k referenčnímu období 1991–2020.

Tab. 3.2.1 Pravděpodobnost překročení úrovně hladiny v mělkých vrtech v dílčích povodích. KP – křivka překročení (%), HLS – Horní a střední Labe, HVL – Horní Vltava, BER – Berounka, DVL – Dolní Vltava, ODL – Ohře a Dolní Labe, HOD – Horní Odra, LNI – Lužická Nisa, MOR – Morava, DYJ – Dyje. Červená barevná škála odpovídá mimořádně, silně a mírně podnormálnímu stavu. Modrá barevná škála představuje mírně, silně, mimořádně nadnormální stav.

Povodí/ Zařazení úrovně hladiny na KP v %	HSL	HVL	BER	DVL	ODL	HOD	LNI	MOR	DYJ	ČR
III 2026	85	74	87	82	93	76	84	79	62	85
II2026	74	61	69	46	81	65	62	58	40	67
III 2025	89	83	78	89	96	86	95	80	65	89
<95,100>	<85,95)	<75,85)	(25,75)	(15,25>	(5,15>	<5,0>				

Tab. 3.2.2 Stav hladiny v mělkých vrtech v % počtu objektů

Povodí	Mimořádně podnormální hladina	Silně podnormální hladina	Mírně podnormální hladina	Normální hladina	Mírně nadnormální hladina	Silně nadnormální hladina	Mimořádně nadnormální hladina
Horní a střední Labe	3	37	22	34	3	0	0
Horní Vltava	0	20	12	66	2	0	0
Berounka	9	39	21	27	0	3	0
Dolní Vltava	0	25	30	35	10	0	0
Ohře a Dolní Labe	29	29	23	14	0	6	0
Horní Odra	9	18	13	58	2	0	0
Lužická Nisa	0	14	43	43	0	0	0
Morava	9	12	21	53	3	0	2
Dyje	0	11	11	64	11	2	0
ČR	7	24	19	45	4	1	0

Tab. 3.2.3 Porovnání hladiny v mělkých vrtech s předchozím měsícem v % počtu objektů

Povodí	Velký pokles	Pokles	Stagnace až mírný pokles	Stagnace až mírný vzestup	Vzestup	Velký vzestup
Horní a střední Labe	0	9	20	52	16	3
Horní Vltava	5	5	27	24	37	2
Berounka	3	6	52	33	3	3
Dolní Vltava	10	20	25	45	0	0
Ohře a Dolní Labe	3	6	43	37	9	3
Horní Odra	7	7	29	40	16	2
Lužická Nisa	0	14	29	57	0	0
Morava	0	9	26	57	9	0
Dyje	0	5	30	61	5	0
ČR	2	8	29	46	13	2

Tab. 3.2.4 Porovnání hladiny v mělkých vrtech se stejným měsícem předchozího roku v % počtu objektů

Povodí	Velký pokles	Pokles	Stagnace až mírný pokles	Stagnace až mírný vzestup	Vzestup	Velký vzestup
Horní a střední Labe	2	11	23	37	21	6
Horní Vltava	2	12	24	34	22	5
Berounka	0	27	39	21	12	0
Dolní Vltava	0	10	20	50	15	5
Ohře a Dolní Labe	0	6	31	40	20	3
Horní Odra	0	11	29	38	11	11
Lužická Nisa	0	0	14	57	29	0
Morava	0	10	36	40	10	3
Dyje	0	11	41	32	11	5
ČR	1	12	30	36	16	5

## Prameny

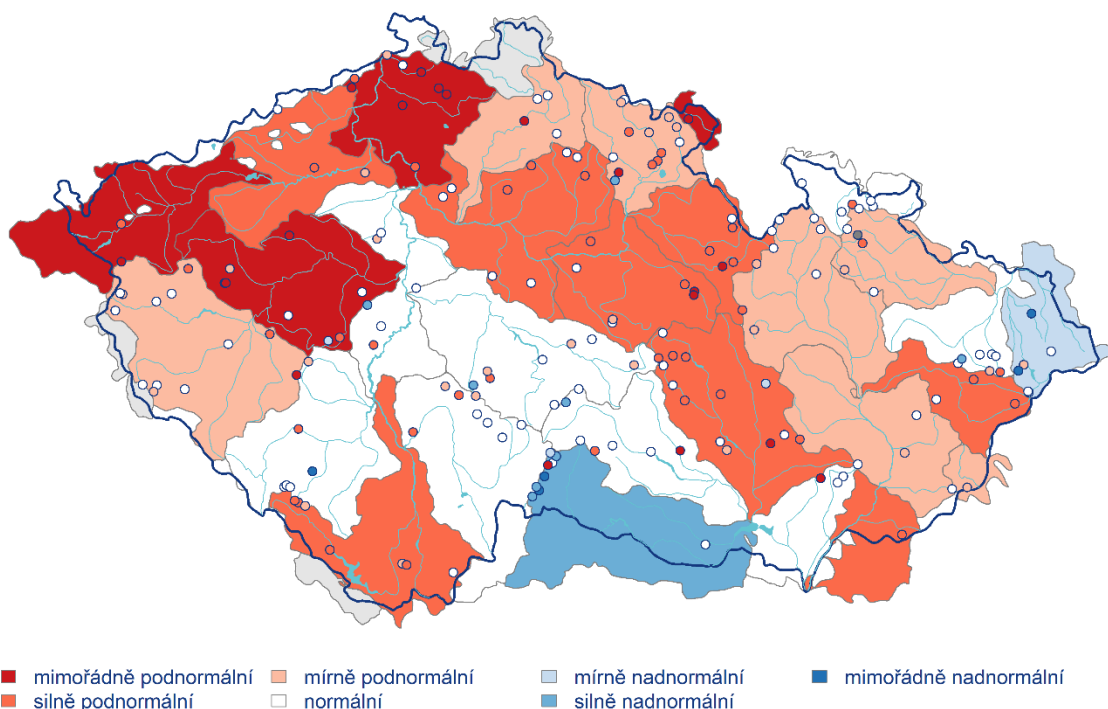
Vydatnost pramenů byla v březnu na území ČR celkově silně podnormální. Regionálně se však stav lišil – mimořádně podnormální vydatnost byla zaznamenána v dílčích povodích Ohře, Dolního Labe a ostatních přítoků Labe a Lužické Nisy a ostatních přítoků Odry. Silně podnormální vydatnost byla dosažena v dílčích povodích Horního a středního Labe, Berounky a Moravy a přítoků Váhu. V ostatních dílčích povodích byla vydatnost normální (Tab. 3.2.5). Ve skupinách povodí nastal mimořádně podnormální stav v povodích dolní Berounky, horní Ohře, dolního Labe a Ploučnice a Stěnavy, naopak v povodí horní Dyje byla vydatnost silně nadnormální a v povodí Olše mírně nadnormální (Obr. 3.2.2). Největší podíl pramenů se silně nebo mimořádně podnormální vydatností byl zaznamenán v dílčím povodí Lužické Nisy a ostatních přítoků Odry (100 %) a v dílčím povodí Ohře, Dolního Labe a ostatních přítoků Labe (67 %). Silně nebo mimořádně nadnormální vydatnost se vyskytovala nejčastěji v dílčím povodí Dyje (18 %) a Horní Odry (14 %, Tab. 3.2.6).

Ve srovnání s předchozím měsícem se vydatnost pramenů celkově zmenšila a stav se zhoršil z mírně podnormálního na silně podnormální. Podíl pramenů s normální vydatností (42 %) zůstal beze změny, podíl pramenů se silně nebo mimořádně podnormální vydatností se zvýšil na 34 % a podíl pramenů se silně nebo mimořádně nadnormální vydatností zůstal na 7 % (Tab. 3.2.6). Stagnace až mírné zvětšení vydatnosti bylo zaznamenáno u 49 % pramenů a stagnace až mírné zmenšení u 24 % pramenů. Zvětšení nebo velké zvětšení vydatnosti bylo zaznamenáno u 22 % pramenů (17 %, resp. 5 %), zatímco zmenšení nebo velké zmenšení nastalo u 5 % pramenů (Tab. 3.2.7). K výraznému zhoršení stavu došlo v dílčím povodí Moravy a přítoků Váhu z normálního na silně podnormální. K mírnému zhoršení došlo v dílčích povodích Horního a středního Labe a Berounky z mírně podnormálního na silně podnormální. Ke zlepšení stavu došlo v dílčím povodí Horní Vltavy ze silně podnormálního na normální (Tab. 3.2.5, Tab. 3.2.7).

Meziročně se stav vydatnosti pramenů v březnu celkově nezměnil a zůstal silně podnormální (Tab. 3.2.5). Zvětšení nebo velké zvětšení vydatnosti bylo zaznamenáno u 26 % pramenů, zatímco zmenšení nebo velké zmenšení u 14 % pramenů (Tab. 3.2.8). Ve srovnání se stejným měsícem předchozího roku došlo k výraznému zlepšení stavu v dílčích povodích Horní Vltavy, Horní Odry a Dyje ze silně podnormálního na normální; vydatnost se v těchto dílčích povodích meziročně zvětšila u 31–43 % pramenů, v ostatních dílčích povodích se stav nezměnil (Tab. 3.2.5, Tab. 3.2.8).

## Stav vydatnosti pramenů

Březen 2026


  
Český  
hydrometeorologický  
ústav


Obr. 3.2.2 Stav vydatnosti pramenů v březnu 2026 ve skupinách povodí, vztaženo k referenčnímu období 1991–2020.

Tab. 3.2.5 Pravděpodobnost překročení úrovně vydatnosti pramenů v dílčích povodích. KP – křivka překročení (%), HLS – Horní a střední Labe, HVL – Horní Vltava, BER – Berounka, DVL – Dolní Vltava, ODL – Ohře a Dolní Labe, HOD – Horní Odra, LNI – Lužická Nisa, MOR – Morava, DYJ – Dyje. Červená barevná škála odpovídá mimořádně, silně a mírně podnormálnímu stavu. Modrá barevná škála představuje mírně, silně, mimořádně nadnormální stav.

Povodí/ Zařazení úrovně vydatnosti na KP v %	HSL	HVL	BER	DVL	ODL	HOD	LNI	MOR	DYJ	ČR
III 2026	89	74	90	72	100	62	99	91	61	88
II 2026	75	67	81	62	99	37	99	60	58	78
III 2025	94	86	87	68	100	87	98	91	91	94
<95,100>	<85,95)	<75,85)	(25,75)	(15,25>	(5,15>	<5,0>				

Tab. 3.2.6 Vydatnost pramenů v % počtu objektů

Povodí	Mimořádně podnormální vydatnost	Silně podnormální vydatnost	Mírně podnormální vydatnost	Normální vydatnost	Mírně nadnormální vydatnost	Silně nadnormální vydatnost	Mimořádně nadnormální vydatnost
Horní a střední Labe	12	30	12	42	0	2	0
Horní Vltava	0	33	19	38	5	0	5
Berounka	19	14	14	48	5	0	0
Dolní Vltava	0	13	33	40	0	13	0
Ohře a Dolní Labe	40	27	13	20	0	0	0
Horní Odra	0	14	14	55	5	5	9
Lužická Nisa	100	0	0	0	0	0	0
Morava	0	29	24	47	0	0	0
Dyje	12	19	3	44	3	12	6
ČR	11	23	15	42	2	4	3

Tab. 3.2.7 Porovnání vydatnosti pramenů s předchozím měsícem v % počtu objektů

Povodí	Velké zmenšení	Zmenšení	Stagnace až mírné zmenšení	Stagnace až mírné zvětšení	Zvětšení	Velké zvětšení
Horní a střední Labe	2	2	18	68	10	0
Horní Vltava	5	0	19	29	38	10
Berounka	0	5	43	43	10	0
Dolní Vltava	0	7	27	40	20	7
Ohře a Dolní Labe	0	0	27	73	0	0
Horní Odra	5	5	27	32	23	9
Lužická Nisa	0	0	0	0	100	0
Morava	6	0	18	53	18	6
Dyje	0	3	22	47	16	12
ČR	2	3	24	49	17	5

Tab. 3.2.8 Porovnání vydatnosti pramenů se stejným měsícem předchozího roku v % počtu objektů

Povodí	Velké zmenšení	Zmenšení	Stagnace až mírné zmenšení	Stagnace až mírné zvětšení	Zvětšení	Velké zvětšení
Horní a střední Labe	0	15	28	32	22	2
Horní Vltava	5	19	24	10	33	10
Berounka	10	5	48	19	14	5
Dolní Vltava	7	20	40	13	7	13
Ohře a Dolní Labe	0	20	33	27	13	7
Horní Odra	5	5	14	41	32	5
Lužická Nisa	0	0	100	0	0	0
Morava	6	0	24	65	6	0
Dyje	0	9	31	28	3	28
ČR	3	11	30	29	17	9

## Hluboké vrty

Hladina podzemní vody v hlubokých vrtech<sup>2</sup> byla v březnu mimořádně podnormální v části severočeské křídy (skupina hg rajonů 4B, 4C), permokarbonu středních a západních Čech (8A, 8B), podkrušnohorských pánví (1A) a cenomanu východočeské křídy (7C). Silně podnormální byla hladina v části severočeské křídy (4D), jihočeských pánví (2A, 2C, 2D), podkrušnohorských pánví (1B), východočeské křídy (5A), cenomanu severočeské křídy (6A) a cenomanu východočeské křídy (7B). Mírně podnormální byla hladina v části permokarbonu středních a západních Čech (8C) a v celém permokarbonu východočeské křídy (9A, 9B). Naopak mimořádně nadnormální byla hladina v části moravského terciéru (3B). Silně a mimořádně nadnormální byla stále hladina v částech cenomanu severočeské křídy (6B a 6C), které mají výrazně víceletý režim. V ostatních skupinách hg rajonů byla hladina normální (Obr. 3.2.3).

Oproti minulému měsíci se zhoršil stav části jihočeských pánví (2C – z normálního na silně podnormální), permokarbonu východočeské křídy (9A) a cenomanu severočeské křídy (6A). Zlepšil se naopak stav části severočeské křídy (4D), východočeské křídy (5C) a moravského terciéru (3B). Zvýšil se podíl vrtů s mimořádně podnormální (21 %) a normální (37 %) hladinou. Snížil se naopak podíl vrtů se silně podnormální (19 %) a silně nadnormální (5 %) hladinou (34 %) (Tab. 3.2.9).

K poklesu nebo velkému poklesu hladiny nedošlo u žádného vrtu. Stagnaci až mírný vzestup hladiny zaznamenalo 61 % vrtů. Vzestup nebo velký vzestup hladiny zaznamenalo 12 % vrtů (Tab. 3.2.10).

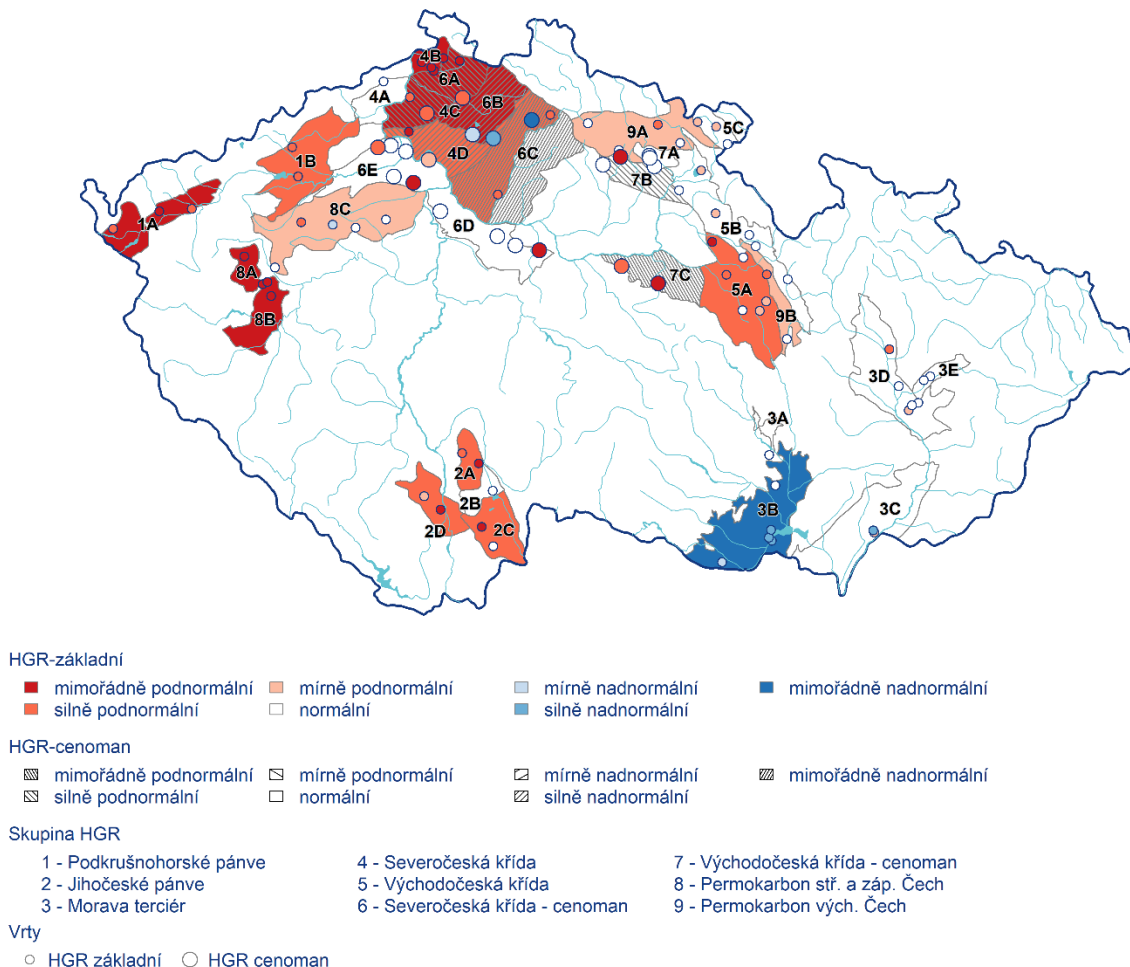
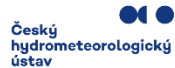
V meziročním porovnání se stejným měsícem minulého roku se zhoršil stav hladiny v celé ČR. Pokles nebo velký pokles hladiny zaznamenalo 29 % vrtů, naopak vzestup nebo velký vzestup hladiny zaznamenala 4 % vrtů (Tab. 3.2.11).

---

<sup>2</sup> Při interpretaci výsledků je třeba brát v úvahu, že hodnocení hlubokých zvodní je prováděno na menším počtu vrtů a často na kratších pozorovaných řadách, než vyhodnocování mělkých vrtů a pramenů. Většina hlubokých vrtů má sice pozorování od roku 1991, část z nich však jen od roku 2008.

**Stav hladiny podzemní vody v hlubokých vrtech**

Březen 2026



Obř. 3.2.3 Stav hladiny podzemní vody v hlubokých vrtech v březnu 2026, vztaženo k referenčnímu období 1991–2020

Tab. 3.2.9 Stav hladiny v hlubokých vrtech v % počtu objektů

Povodí	Mimořádně podnormální hladina	Silně podnormální hladina	Mírně podnormální hladina	Normální hladina	Mírně nadnormální hladina	Silně nadnormální hladina	Mimořádně nadnormální hladina
ČR	21	19	13	37	3	5	1

Tab. 3.2.10 Porovnání hladiny v hlubokých vrtech s předchozím měsícem v % počtu objektů

Povodí	Velký pokles	Pokles	Stagnace až mírný pokles	Stagnace až mírný vzestup	Vzestup	Velký vzestup
ČR	0	0	27	61	8	4

Tab. 3.2.11 Porovnání hladiny v hlubokých vrtech se stejným měsícem předchozího roku v % počtu objektů

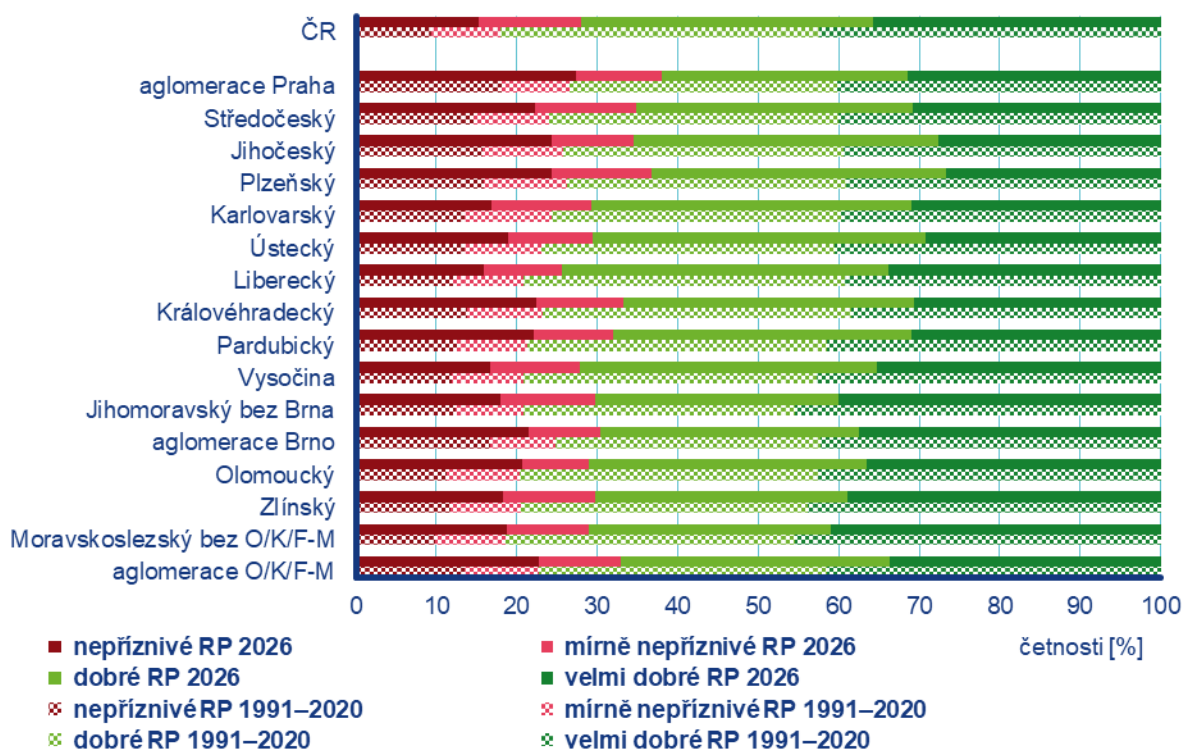
Povodí	Velký pokles	Pokles	Stagnace až mírný pokles	Stagnace až mírný vzestup	Vzestup	Velký vzestup
ČR	11	18	59	8	1	3

## 4 KVALITA OVZDUŠÍ

### 4.1 Rozptylové podmínky

V porovnání s 30letým průměrem 1991–2020 byly v březnu zhoršené rozptylové podmínky (Obr. 4.1.1). Nejlepší březnové rozptylové podmínky byly zaznamenány v roce 1995, naopak nejhorší v roce 2025. Velmi dobré rozptylové podmínky, vyjádřené pomocí ventilačního indexu<sup>3</sup> pro celou ČR, byly zaznamenány v 11 dnech, v porovnání s desetiletým průměrem se jedná o zhoršení o 7 %. Dobré rozptylové podmínky byly zaznamenány v 11 dnech, mírně nepříznivé ve čtyřech a nepříznivé v pěti dnech.

V březnu byly téměř ve všech regionech zaznamenány zhoršené rozptylové podmínky. Výjimkou je kraj Pardubický, kde byly rozptylové podmínky výrazně horší a kraje Karlovarský a Liberecký se standardními rozptylovými podmínkami. Nejvíce velmi dobrých rozptylových podmínek (41 %) bylo zaznamenáno v Moravskoslezském kraji bez O/K/F-M<sup>4</sup>, nejméně (27 %) v Plzeňském kraji. Nejvíce nepříznivých rozptylových podmínek (27 %) bylo zaznamenáno v aglomeraci Praha, nejméně (16 %) v Libereckém kraji.



Obr. 4.1.1 Skladba rozptylových podmínek v regionech České republiky, březen 2026

<sup>3</sup> <https://www.chmi.cz/kvalita-ovzdusi/imise-informacni-system-hodnoceni-kvality-ovzdusi/podklady-pro-hodnoceni-ko/hodnoceni-ko-rozptylove-podminky>

<sup>4</sup> Aglomerace Ostrava/Karviná/Frýdek-Místek.

## 4.2 Suspendované částice PM<sub>10</sub>

### Překročení 24hod. imisního limitu PM<sub>10</sub> od počátku roku

Hodnota 24hod. imisního limitu PM<sub>10</sub> je 50 µg·m<sup>-3</sup>. Legislativa připouští na měřicí stanici nejvíce 35 překročení hodnoty imisního limitu, při vyšším počtu je imisní limit považován za překročený.

Během března došlo k překročení hodnoty imisního limitu na 64 ze 118 stanic.

24hod. imisní limit PM<sub>10</sub> nebyl do konce března překročen na žádné stanici AIM s dostatečným množstvím dat pro hodnocení (Obr. 4.2.1).

### Měsíční chod denních koncentrací PM<sub>10</sub>

Průměrné 24hod. koncentrace PM<sub>10</sub> zprůměrované pro jednotlivé typy stanic překračovaly během března hodnotu imisního limitu (50 µg·m<sup>-3</sup>) i doporučenou hodnotu WHO<sup>5</sup> (45 µg·m<sup>-3</sup>; Obr. 4.2.2)<sup>6</sup> pouze na dopravních stanicích.

Vývoj denních koncentrací PM<sub>10</sub> má obdobný průběh jako denní koncentrace PM<sub>2,5</sub>. Důvodem je podobná skladba emisních zdrojů obou látek a také významná závislost na meteorologických a rozptylových podmínkách.

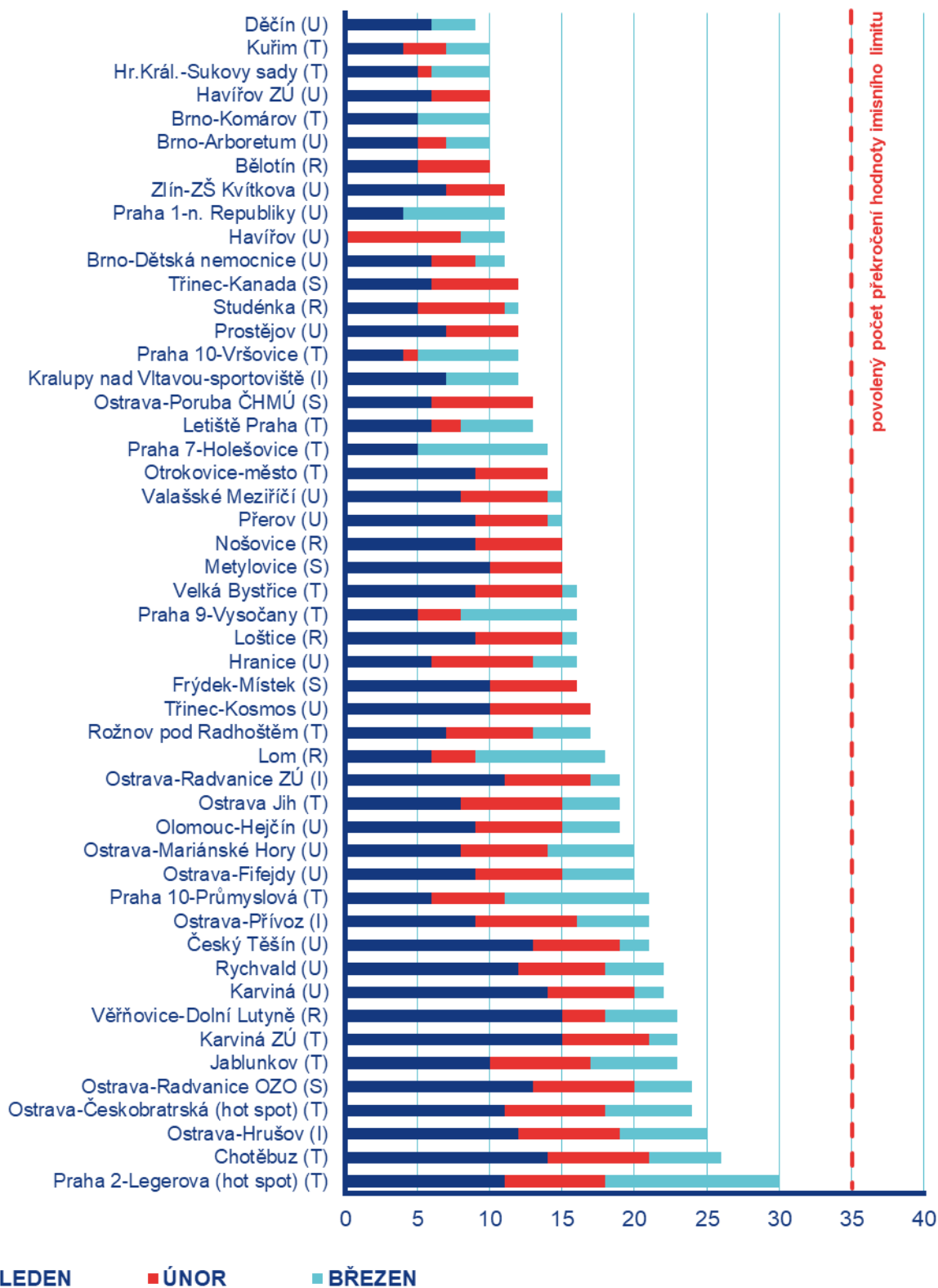
### Průměrné měsíční koncentrace PM<sub>10</sub>

Celorepublikový měsíční průměr koncentrací PM<sub>10</sub> byl v březnu čtvrtý nejvyšší za období 2016–2026 (Obr. 4.2.3). V porovnání s desetiletým průměrem (2016–2025) byly průměrné koncentrace PM<sub>10</sub> o 5 % vyšší.

---

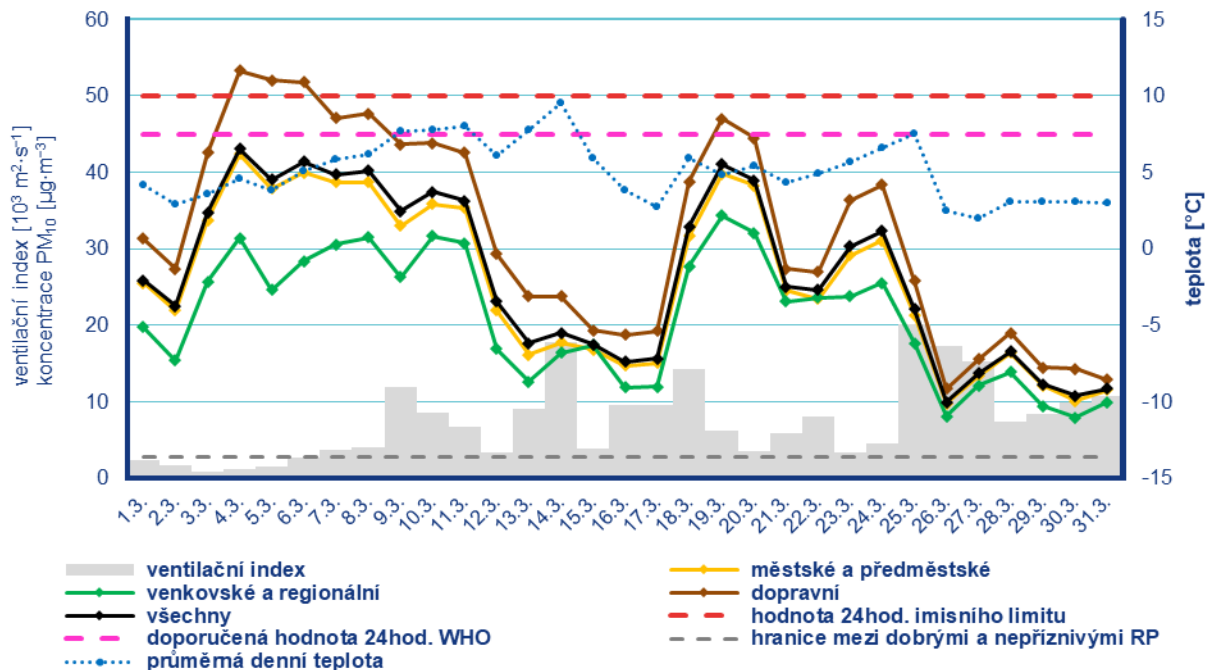
<sup>5</sup> <https://iris.who.int/handle/10665/345329>

<sup>6</sup> Průběh koncentrací je hodnocen pouze z meteorologického hlediska. Meteorologické a rozptylové podmínky jsou hlavním faktorem ovlivňujícím úroveň koncentrací. Mezi další faktory patří např. množství emisí či rozložení zdrojů emisí.



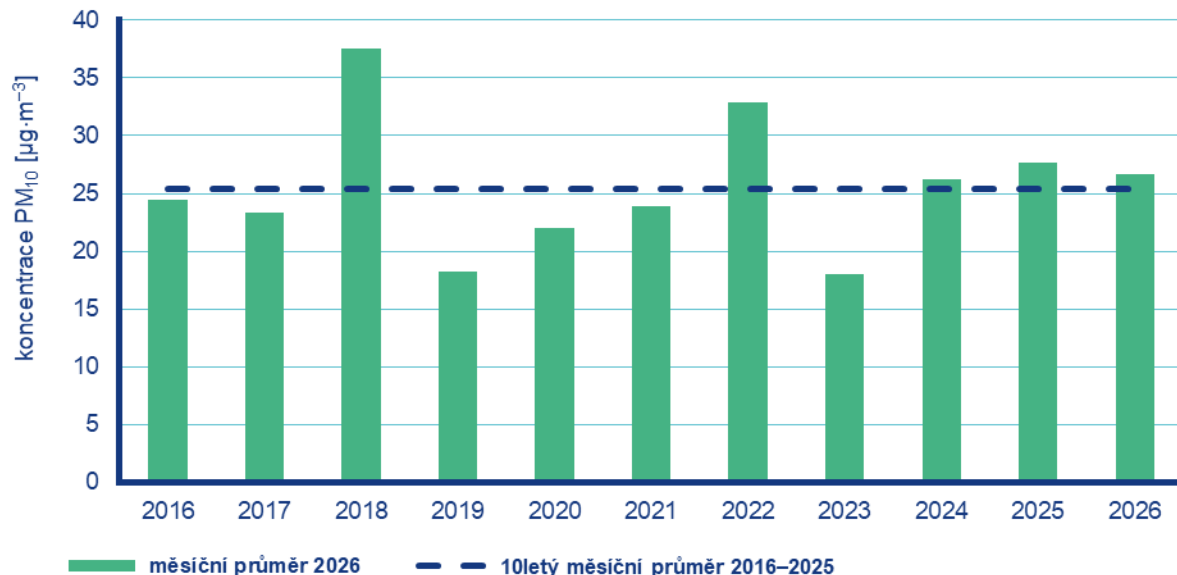
Poznámka: V grafu je uvedeno 50 nejhorších stanic bez ohledu na úplnost dat.

Obr. 4.2.1 Počet dnů, kdy průměrná denní koncentrace PM<sub>10</sub> překročila hodnotu 24hod. imisního limitu (50 µg·m<sup>-3</sup>) na stanicích AIM, 2026



Poznámka: Průmyslové stanice jsou umístěny převážně v Moravskoslezském kraji; z tohoto důvodu nejsou průmyslové stanice uvedeny v grafu celorepublikových průměrů.

Obr. 4.2.2 Vývoj průměrných denních koncentrací PM<sub>10</sub>, celorepublikového průměru teploty vzduchu a celorepublikového průměru ventilačního indexu (model ALADIN), březen 2026



Obr. 4.2.3 Průměrné měsíční koncentrace PM<sub>10</sub> v České republice, březen 2016–2026

## 4.3 Suspendované částice PM<sub>2,5</sub>

Vzhledem k závažnosti vlivu suspendovaných částic na lidské zdraví jsou v této zprávě hodnoceny i koncentrace suspendovaných částic PM<sub>2,5</sub>. V české legislativě mají koncentrace suspendovaných částic PM<sub>2,5</sub> definován pouze roční imisní limit (20 µg·m<sup>-3</sup>), proto jsou v této zprávě krátkodobé koncentrace porovnávány vzhledem k doporučené hodnotě WHO pro ochranu lidského zdraví (15 µg·m<sup>-3</sup>, průměrná 24hodinová koncentrace).<sup>7</sup>

### Překročení 24hod. doporučené hodnoty WHO pro PM<sub>2,5</sub>

Doporučená hodnota WHO (15 µg·m<sup>-3</sup>) byla v březnu překročena na 88 z 91 stanic (Obr. 4.3.1). Překročení doporučené hodnoty je vyjádřeno procentem dní, kdy byla na dané stanici průměrná denní koncentrace PM<sub>2,5</sub> vyšší než doporučená hodnota WHO.

### Měsíční chod denních koncentrací PM<sub>2,5</sub>

Průměrné denní koncentrace PM<sub>2,5</sub> zprůměrované pro jednotlivé typy stanic v březnu překračovaly doporučenou hodnotou WHO (Obr. 4.3.2)<sup>8</sup>.

V první dekádě ovlivňovala počasí v ČR rozsáhlá oblast vysokého tlaku vzduchu nad Evropou. Stabilní zvrstvení atmosféry přineslo nepříznivé rozptylové podmínky a koncentrace se pohybovaly nad doporučenou hodnotou WHO. V první polovině druhé dekády přecházely přes ČR frontální systémy provázené srážkovou činností a koncentrace poklesly pod doporučenou hodnotu. Vlivem stabilního a suchého počasí v souvislosti s tlakovou výší nad Polskem a Pobaltím vystoupaly koncentrace opět nad doporučenou hodnotu. Zde se udržely až do poloviny třetí dekády, kdy přes ČR přecházela výrazná studená fronta, provázená srážkovou činností, ochlazením a čerstvým větrem. Zvlněné frontální rozhraní způsobilo rozdíly mezi západní a východní částí republiky, kdy západní polovinu ovlivňoval výběžek vyššího tlaku vzduchu a východní ono frontální rozhraní. V závislosti na tomto rozdělení vystoupaly zprůměrované koncentrace již jen těsně pod doporučenou hodnotu. Konec měsíce byl ve znamení přechodu okluzní fronty, provázené přílivem studeného vzduchu od severozápadu a intenzivnějšími srážkami, a to i sněhovými.

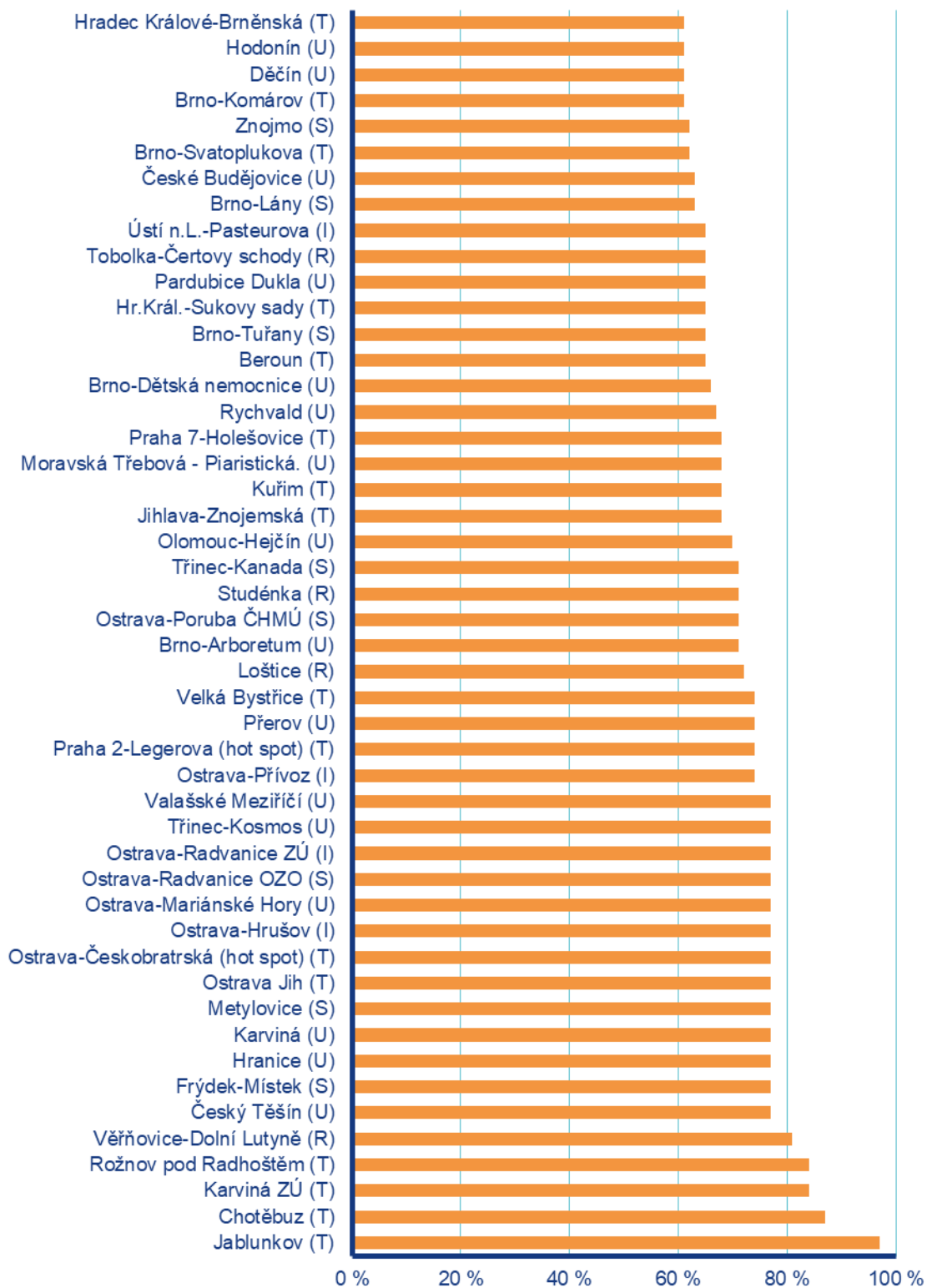
### Průměrné měsíční koncentrace PM<sub>2,5</sub>

Celorepublikový měsíční průměr koncentrací PM<sub>2,5</sub> byl v březnu třetí nejnižší za období 2016–2026 (Obr. 4.3.3). V porovnání s desetiletým průměrem (2016–2025) byly průměrné koncentrace PM<sub>2,5</sub> o 23 % nižší.

---

<sup>7</sup> <https://iris.who.int/handle/10665/345329>

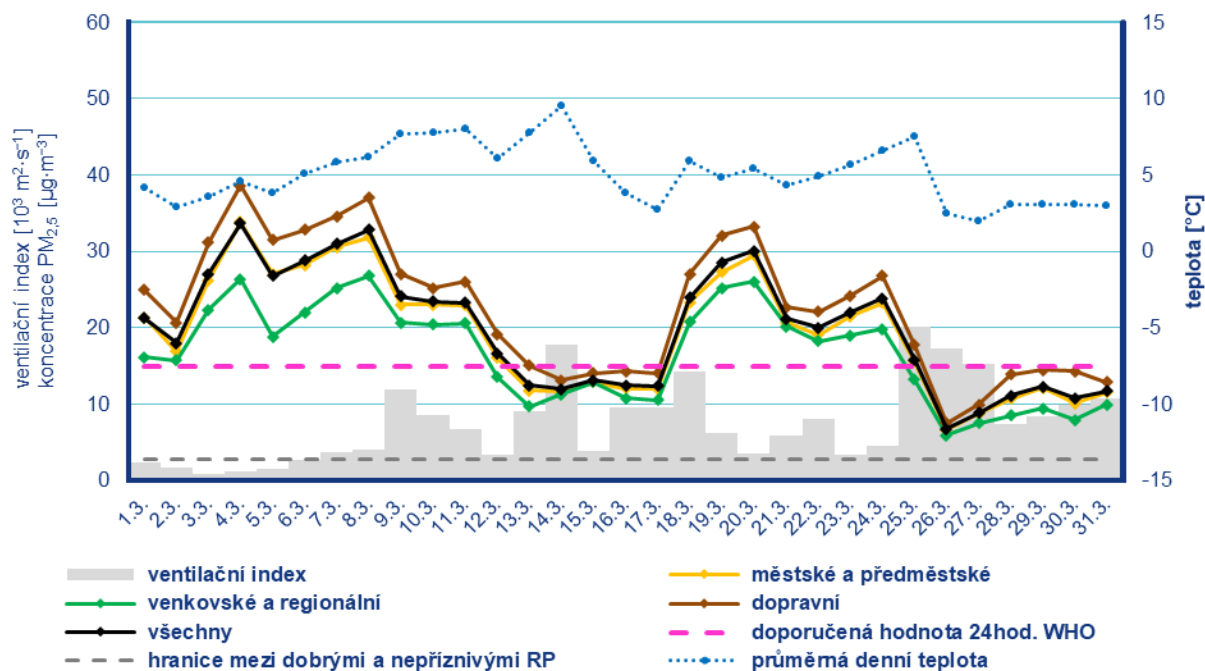
<sup>8</sup> Průběh koncentrací je hodnocen pouze z meteorologického hlediska. Meteorologické a rozptylové podmínky jsou hlavním faktorem ovlivňujícím hodnoty koncentrací. Mezi další faktory patří např. množství emisí či rozložení zdrojů emisí.



■ procento překročení doporučené hodnoty WHO  $15 \mu\text{g}\cdot\text{m}^{-3}$

Poznámka: V grafu je uvedeno 50 nejhorších stanic bez ohledu na úplnost dat.

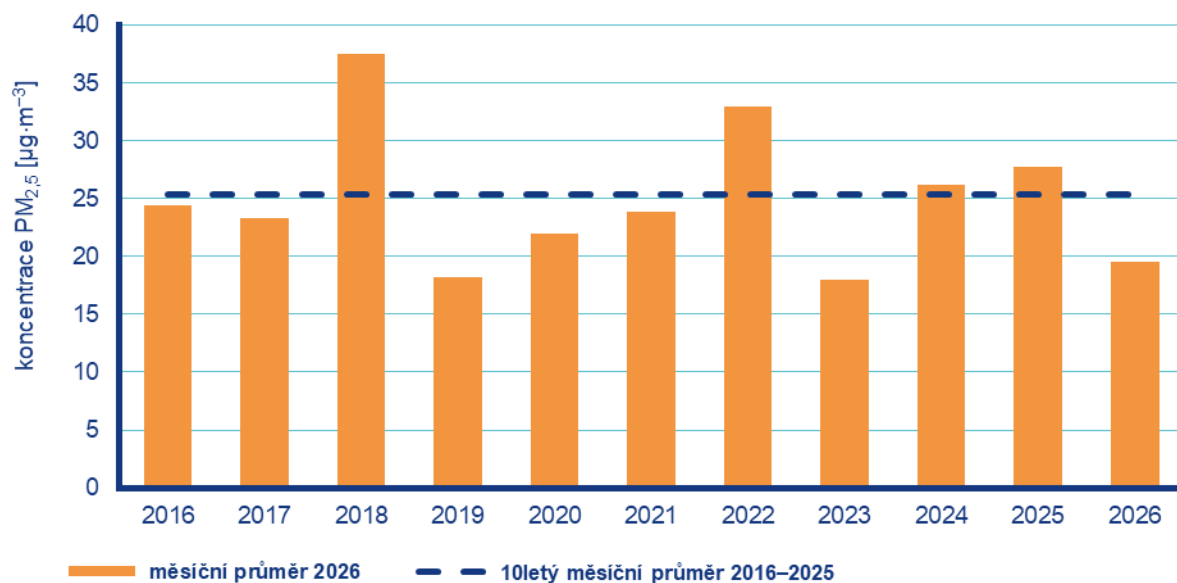
Obr. 4.3.1 Procento dní s překročením doporučené hodnoty WHO ( $15 \mu\text{g}\cdot\text{m}^{-3}$ ) pro průměrnou 24hodinovou koncentraci  $\text{PM}_{2.5}$ , březen 2026



Poznámka: Průmyslové stanice jsou umístěny převážně v Moravskoslezském kraji; z tohoto důvodu nejsou průmyslové stanice uvedeny v grafu celorepublikových průměrů.

DRP = dobré rozptylové podmínky, MNRP = mírně nepříznivé rozptylové podmínky, NRP = nepříznivé rozptylové podmínky

Obr. 4.3.2 Vývoj průměrných denních koncentrací  $\text{PM}_{2.5}$ , celorepublikového průměru teploty vzduchu a celorepublikového průměru ventilačního indexu (model ALADIN), březen 2026



Obr. 4.3.3 Průměrné měsíční koncentrace  $\text{PM}_{2.5}$  v České republice, březen 2016–2026

## 4.4 Ostatní látky

### Oxid dusičitý NO<sub>2</sub>

Hodnota hodinového imisního limitu NO<sub>2</sub> je 200 µg·m<sup>-3</sup>. Legislativa připouští na měřicí stanici nejvíce 18 překročení hodnoty imisního limitu, při vyšším počtu je imisní limit považován za překročený. Vzhledem k závažnosti vlivu NO<sub>2</sub> na lidské zdraví jsou v této zprávě hodnoceny krátkodobé koncentrace nejen vzhledem k imisnímu limitu, ale i vzhledem k doporučené hodnotě WHO pro ochranu lidského zdraví (25 µg·m<sup>-3</sup>, průměrná 24hodinová koncentrace).<sup>9</sup>

Hodnota hodinového imisního limitu pro NO<sub>2</sub> nebyla v březnu překročena na žádné z 87 stanic.

Doporučená hodnota WHO byla v březnu překročena na 60 stanicích z 87 (Obr. 4.4.1). Překročení doporučené hodnoty je vyjádřeno procentem dní, kdy byla na dané stanici průměrná denní koncentrace NO<sub>2</sub> vyšší než doporučená hodnota WHO.

Celorepublikový měsíční průměr koncentrací NO<sub>2</sub> byl v březnu pátý nejnižší za období 2016–2026. V porovnání s desetiletým průměrem (2016–2025) byly průměrné koncentrace NO<sub>2</sub> o 6 % nižší.

### Oxid siřičitý SO<sub>2</sub>

Hodnota hodinového imisního limitu SO<sub>2</sub> je 350 µg·m<sup>-3</sup>, hodnota 24hod. imisního limitu je 125 µg·m<sup>-3</sup>. Legislativa připouští na měřicí stanici nejvíce 24, resp. 3 překročení hodnoty imisního limitu, při vyšším počtu je imisní limit považován za překročený.

Hodnoty hodinového ani 24hod. imisního limitu pro SO<sub>2</sub> nebyly v březnu překročeny na žádné ze 48 stanic.

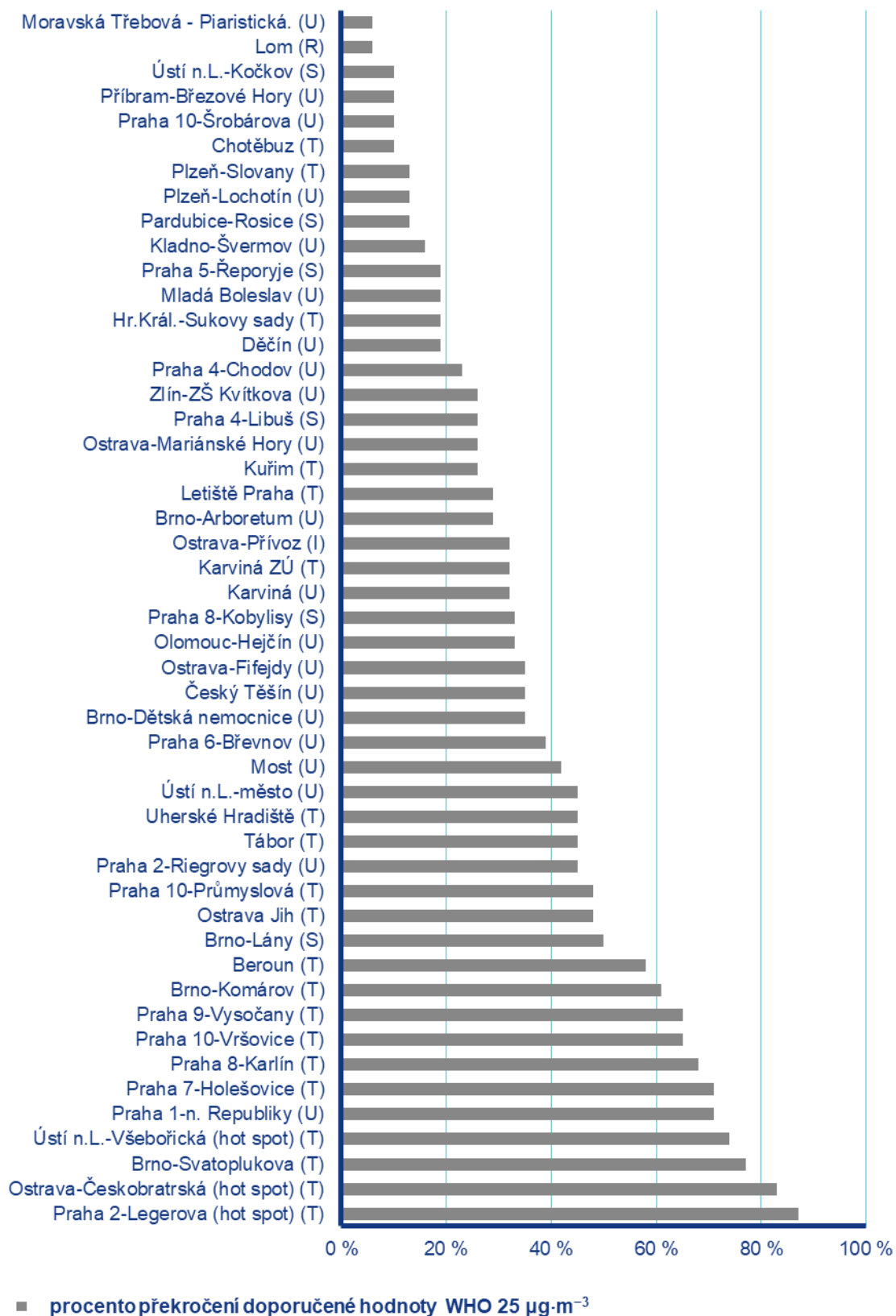
Celorepublikový měsíční průměr koncentrací SO<sub>2</sub> byl v březnu nejnižší za období 2016–2026. V porovnání s desetiletým průměrem (2016–2025) byly průměrné koncentrace SO<sub>2</sub> o 27 % nižší.

### Oxid uhelnatý CO

Denní maximum 8hodinových koncentrací oxidu uhelnatého (CO) nepřekročily v březnu 2026 hodnotu svého imisního limitu.

---

<sup>9</sup> <https://iris.who.int/handle/10665/345329>



Poznámka: V grafu je uvedeno 50 nejhorších stanic bez ohledu na úplnost dat.

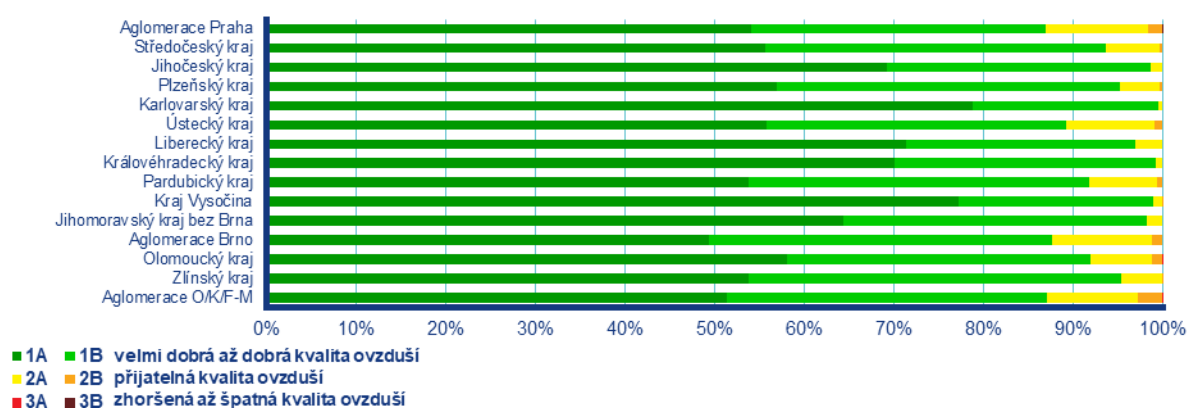
Obr. 4.4.1 Procento dní s překročením doporučené hodnoty WHO ( $25 \mu\text{g}\cdot\text{m}^{-3}$ ) pro průměrnou 24hodinovou koncentraci  $\text{NO}_2$ , březen 2026

## 4.5 Index kvality ovzduší

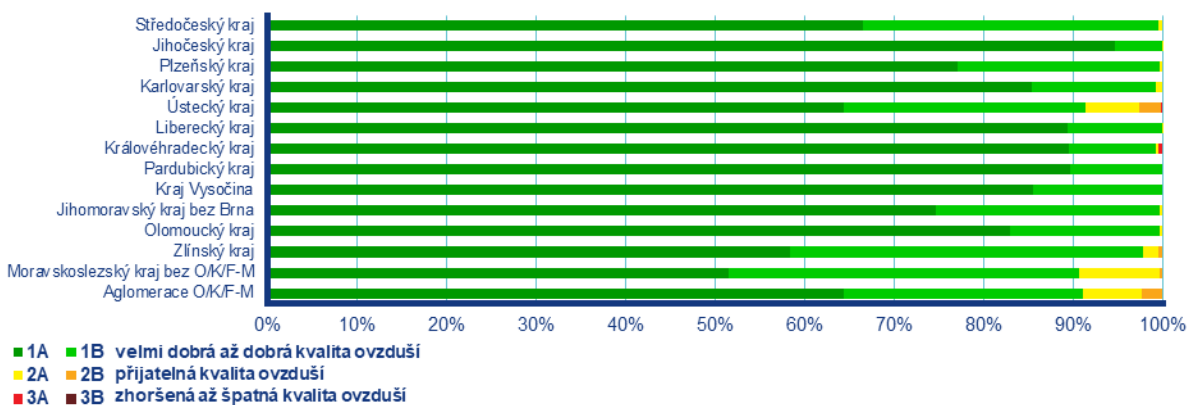
Během března byla na měřicích stanicích převážně velmi dobrá až dobrá kvalita ovzduší<sup>10</sup>.

Na městských a předměstských stanicích se velmi dobrá až dobrá kvalita ovzduší vyskytovala nejčastěji v Karlovarském kraji (99 %), nejméně často pak v aglomeracích Praha a O/K/F-M (87 %; Obr. 4.5.1). Zhoršená až špatná kvalita ovzduší byla zaznamenána v aglomeracích Praha a O/K/F-M a v Olomouckém kraji (méně než 1 %).

Na venkovských stanicích<sup>11</sup> se pouze velmi dobrá až dobrá kvalita ovzduší vyskytovala v Pardubickém kraji a v Kraji Vysočina (100 %). Nejméně často pak v Moravskoslezském kraji bez O/K/F-M (91 %; Obr. 4.5.2). Zhoršená až špatná kvalita ovzduší se vyskytovala v krajích Ústeckém a Královéhradeckém (méně než 1 %).



Obr. 4.5.1 Skladba indexu kvality ovzduší na městských a předměstských pozadových stanicích, březen 2026



Obr. 4.5.2 Skladba indexu kvality ovzduší na venkovských pozadových stanicích, březen 2026

<sup>10</sup> <https://www.chmi.cz/kvalita-ovzduisi/imise-informacni-system-hodnoceni-kvality-ovzduisi/podklady-pro-hodnoceni-ko/hodnoceni-ko-index-kvality-ovzduisi>

<sup>11</sup> Pro venkovské stanice není ve všech krajích a aglomeracích k dispozici dostatek dat pro hodnocení.

## 4.6 Smogový a varovný regulační systém

Prahové hodnoty  $PM_{10}$  pro vyhlášení smogové situace byly v březnu překročeny na jedné lokalitě SVRS. Nicméně nebyly splněny další zákonné podmínky pro vyhlášení signálu SVRS, který proto nebyl vyhlášen.

Prahové hodnoty  $NO_2$ ,  $SO_2$  a  $O_3$  pro vyhlášení smogové situace či regulace (varování) a prahové hodnoty  $PM_{10}$  pro vyhlášení regulace nebyly v březnu překročeny na žádné lokalitě SVRS.

## **Kontakty**

**Mgr. Josef Hanzlík**, e-mail: [josef.hanzlik@chmi.cz](mailto:josef.hanzlik@chmi.cz)  
vedoucí oddělení Operativní služby  
tel.: 244 032 761

**RNDr. Lenka Crhová, Ph.D.**, e-mail: [lenka.crhova@chmi.cz](mailto:lenka.crhova@chmi.cz)  
vedoucí oddělení Všeobecné klimatologie  
tel.: 244 032 250

**RNDr. Radek Čekal, Ph.D.**, e-mail: [radek.cekal@chmi.cz](mailto:radek.cekal@chmi.cz)  
vedoucí oddělení Hydrologických předpovědí  
tel.: 244 032 356

**doc. Dr. Ing. Martin Možný**, e-mail: [martin.mozny@chmi.cz](mailto:martin.mozny@chmi.cz)  
vedoucí oddělení Biometeorologických aplikací  
tel.: 244 032 206

**Ing. Václav Novák**, e-mail: [vaclav.novak@chmi.cz](mailto:vaclav.novak@chmi.cz)  
vedoucí oddělení Informační systém kvality ovzduší (hodnocení kvality ovzduší)  
tel.: 244 032 402

**Mgr. Ondřej Vlček**, e-mail: [ondrej.vlcek@chmi.cz](mailto:ondrej.vlcek@chmi.cz)  
vedoucí oddělení Modelování a expertíz (SVRS)  
tel.: 244 032 488

**Hana Stehlíková, DiS.**  
vedoucí oddělení tiskového a informačního  
e-mail: [info@chmi.cz](mailto:info@chmi.cz)  
tel.: 244 032 722  
[www.chmi.cz](http://www.chmi.cz)